

**SINTESIS NANOPARTIKEL MAGNETIT (Fe₃O₄) SECARA ELEKTROLISIS
DAN UJI ADSORPTIVITAS TERHADAP LOGAM TEMBAGA (Cu)**



Skripsi

Diajukan Untuk Memenuhi Salah Satu Syarat Untuk Meraih Gelar Sarjana (S1)
dalam Ilmu Sains Jurusan Kimia Fakultas Sains dan Teknologi
UIN Alauddin Makassar

Oleh:

RIA RUKMANA YAMIN
NIM: 60500112069

**FAKULTAS SAINS DAN TEKNOLOGI
UNIVERSITAS ISLAM NEGERI ALAUDDIN
MAKASSAR**

2017

PERNYATAAN KEASLIAN SKRIPSI

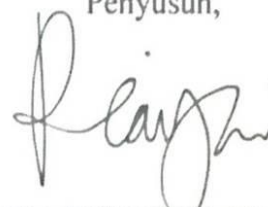
Mahasiswa yang bertandatangan di bawah ini:

Nama : Ria Rukmana Yamin
NIM : 60500112069
Tempat/Tanggal Lahir : Karama, 01 Mei 1994
Jurusan/Prodi : Kimia
Alamat : BTN. Minasaupa C4/15, Makassar
Judul : Sintesis Nanopartikel Magnetite (Fe_3O_4) Secara Elektrolisis dan Uji Adsorptivitas Logam Tembaga (Cu).

Menyatakan dengan sesungguhnya dan penuh kesadaran bahwa skripsi ini benar adalah hasil karya sendiri. Jika di kemudian hari terbukti bahwa ia merupakan duplikat, tiruan, plagiat, atau dibuat oleh orang lain, sebagian atau seluruhnya, maka skripsi dan gelar yang diperoleh karenanya batal demi hukum.

Gowa, 13 Maret 2017

Penyusun,



RIA RUKMANA YAMIN
NIM: 60500112069

PENGESAHAN SKRIPSI

Skripsi yang berjudul “Sintesis Nanopartikel Magnetite (Fe_3O_4) Secara Elektrolisis dan Uji Adsorptivitas Logam Tembaga (Cu)” yang disusun oleh Ria Rukmana Yamin, NIM : 60500112069, mahasiswa Jurusan Kimia Fakultas Sains dan Teknologi UIN Alauddin Makassar, telah diuji dan dipertahankan dalam sidang munaqasyah yang diselenggarakan pada hari Senin tanggal 13 Maret 2017 M, bertepatan dengan 14 Jumadil Akhir 1438 H, dinyatakan telah dapat diterima sebagai salah satu syarat untuk memperoleh gelar Sarjana dalam Fakultas Sains dan Teknologi, Jurusan Kimia.

Gowa, 13 Maret 2017 M
14 Jumadil Akhir 1438 H

DEWAN PENGUJI

Ketua : Dr. Hj. Wasilah, ST., MT.
Sekretaris : Sjamsiah, S.Si., M.Si., Ph.D.
Munaqisy I : Dra. Sitti Chadijah, S.Si., M.Si.
Munaqisy II : Asriani Ilyas, S.Si., M.Si.
Munaqisy II : Dr. Hasyim Haddade, M.Ag.
Pembimbing I : H. Asri Saleh, ST., M.Si.
Pembimbing II : Sappewali, S.Pd., M.Si.

(.....)
(.....)
(.....)
(.....)
(.....)
(.....)
(.....)



Diketahui oleh:
Dekan Fakultas Sains dan Teknologi
UIN Alauddin Makassar,

Prof. Dr/ Arifuddin, M.Ag.
NIP. 19691205 199303 1 001

KATA PENGANTAR

Assalamualaikum Warahmatullahi Wabarakatuh

Syukur Alhamdulillah penulis panjatkan kehadiran Allah SWT. atas segala rahmat dan hidayah-Nya yang telah diberikan sehingga skripsi yang berjudul “**Sintesis Nanopartikel Magnetit (Fe₃O₄) Secara Elektrolisis dan Uji Adsorptivitas Ion Logam Tembaga (Cu)**” ini dapat terselesaikan dengan baik, tak lupa pula salam dan salawat penulis kirimkan untuk baginda Rasulullah saw. Skripsi ini merupakan salah satu syarat untuk memperoleh gelar sarjana pada Fakultas Sains dan Teknologi Universitas Islam Negeri Alauddin Makassar.

Pada kesempatan ini penulis mengucapkan terima kasih yang tak terhingga kepada kedua orang tua tercinta, Ibunda Nurani Gani dan Ayahanda M. Yamin Mustafa yang tiada henti-hentinya mendoakan dan mencurahkan kasih sayangnya, yang selalu memberikan nasehat dan motivasi serta pengorbanan untuk mengasuh, membimbing dan mendidik penulis hingga saat ini dan juga untuk adik Cici Cahyani yang selalu memberikan dukungannya, sehingga skripsi ini dapat selesai pada waktunya.

Penulis juga tak lupa menyampaikan terima kasih yang sebesar-besarnya kepada :

1. Prof. Dr. Musafir Pababbari M.Si, selaku Rektor Universitas Islam Negeri Alauddin Makassar.
2. Bapak Prof. Dr. H. Arifuddin, M.Ag, selaku Dekan Fakultas Sains dan Teknologi UIN Alauddin Makassar.

3. Ibu Sjamsiah S.Si.,M.Si., Ph.D, selaku Ketua Jurusan Kimia UIN Alauddin Makassar.
4. Ibu Aisyah S.Si., M.Si, selaku Sekretaris Jurusan Kimia UIN Alauddin Makassar.
5. Bapak H. Asri Saleh, S.T., M.Si selaku Pembimbing I yang berkenan meluangkan waktu dan tenaga untuk membimbing dan memberi saran dari awal penelitian hingga akhir penyusunan skripsi ini.
6. Ibu In Novianty, S.Si., M.Sc dan bapak Sappewali, S.Pd., M.Si selaku Pembimbing II yang berkenan meluangkan waktu dan memberi kritik dan saran dari awal penelitian hingga akhir penyusunan skripsi ini.
7. Ibu Dra. Sitti Chadijah, M.Si, selaku penguji I yang berkenan memberi kritik dan saran guna menyempurnakan skripsi ini.
8. Ibu Asriani Ilyas S.Si., M.Si, selaku penguji II yang yang berkenan memberi kritik dan saran guna menyempurnakan skripsi ini.
9. Bapak Dr. Hasyim Hadade, S.Ag., M.Ag, selaku penguji III yang berkenan memberi arahan kritik dan saran yang membangun untuk penyempurnaan skripsi ini.
10. Segenap dosen dan staf Jurusan Kimia Fakultas Sains dan Teknologi Universitas Islam Negeri Alauddin Makassar, dengan segala jerih payah dan ketulusan dalam membimbing perkuliahan, sehingga memperluas wawasan keilmuan penulis.
11. Para laboran Jurusan Kimia, Kak Awal Ip S.Si., M.Si, Kak Ahmad Yani S.Si. , Kak Ismawanti S.Si, Kak Nuraini S.Si dan Kak Fitri Azis S.Si., S.Pd, terkhusus untuk Kak Andi Nurahma S.Si yang telah membantu dan memberi sumbangsi pemikiran dan dukungan.

12. Kak Abd. Mun'im, S.Si dan Kak Herianto, S.Si, selaku laboran Jurusan Fisika dan laboran Unhas yang telah membatu dan membimbing hingga akhir penyelesaian skripsi ini.
13. Sahabat tersayang Uhsnul Fatimah Jabbar, Nurdiniah, Muliati, S.Si, Hardiyanti, S.Si, Mutmainnah Nuh, S.Si dan terkhusus partner penelitian yang selalu setia berbagi suka, duka dan sumbangsi pemikiran Winda Wiqradhani, S.Si.
14. Teman-teman seperjuangan Kimia angkatan 2012 yang telah banyak membantu penulis memberi dukungan dan motivasi, kakak-kakak angkatan 2009-2010, dan adik-adik angkatan 2013-2015 Kimia UIN Alauddin Makassar.
15. Ayahanda Abdul Asis, S.Pd dan Ibunda Sitti Mardiana, yang telah memberikan kasih sayang, doa dan dukungan sampai detik ini.
16. Terakhir, kepada kakandaku Amar Anggriawan Asis, S.Kom yang selalu memberi semangat dan dukungan moral maupun materi hingga akhir penyusunan skripsi ini.

Semoga skripsi ini dapat bermanfaat dan memberikan sumbangsi pemikiran dalam perkembangan pengetahuan bagi diri penulis maupun bagi pihak yang berkepentingan.

Gowa, 13 Maret 2017

Ria Rukmana Yamin

DAFTAR ISI

JUDUL	i
PERNYATAAN KEASLIAN SKRIPSI	ii
PENGESAHAN SKRIPSI	iii
KATA PENGANTAR	iv
DAFTAR ISI	vii
DAFTAR TABEL	ix
DAFTAR GAMBAR	x
ABSTRAK	xi
BAB I PENDAHULUAN	1-5
A. Latar Belakang Masalah	1
B. Rumusan Masalah	4
C. Tujuan Penelitian	5
D. Manfaat penelitian	5
BAB II TINJAUAN PUSTAKA	6-26
A. Nanosains	6
B. Elektrokimia	11
C. Adsorpsi	17
D. Logam Tembaga (Cu)	18
E. Pencemaran Lingkungan	20
F. Instrument Penelitian	
a. <i>X-Ray Flourescence (XRF)</i>	22
b. <i>X-Ray Diffraction (XRD)</i>	23
c. <i>Trasmission Electron Microscopy (TEM)</i>	24
d. <i>Atomic Absorption Spectroscopy (AAS)</i>	25

BAB III	METODOLOGI PENELITIAN	27-30
	A. Waktu dan Tempat Penelitian	27
	B. Alat dan Bahan	
	1. Alat Penelitian	27
	2. Bahan Penelitian	27
	C. Prosedur Penelitian	
	1. Elektroplating Besi	
	a. Pembuatan Larutan Elektrolit	28
	b. Preparasi Besi	28
	c. Pembuatan Elektroda Besi Dengan Teknik Elektroplating	28
	2. Sintesis Nanopartikel Fe ₃ O ₄ Dengan Metode Elektrolisis	28
	3. Uji Adsorptivitas Logam Tembaga (Cu)	
	a. Pembuatan Larutan Induk Cu ²⁺ 1000 ppm	29
	b. Pembuatan Larutan Baku Cu ²⁺ 100 ppm	29
	c. Pembuatan Larutan Uji Cu ²⁺	29
	d. Pembuatan Larutan Standar Cu ²⁺	29
	e. Penentuan Persentase Logam Tembaga (Cu) Teradsorpsi Terhadap Variasi Waktu Kontak	29
	f. Penentuan Persentase Logam Tembaga (Cu) Teradsorpsi Terhadap Variasi Konsentrasi	30
BAB IV	HASIL PENELITIAN DAN PEMBAHASAN	31-46
	A. Hasil Penelitian.....	31
	B. Pembahasan	35
BAB V	PENUTUP	47
	A. Kesimpulan.....	47
	B. Saran	47
	KEPUSTAKAAN	48-50
	LAMPIRAN-LAMPIRAN.....	51-89
	BIOGRAFI	90

DAFTAR TABEL

Tabel II.1 Sifat Fisik dan Kimia Senyawa Oksida Besi	10
Tabel IV.1 Bobot Hasil Elektroplating Batang Besi	32
Tabel IV.2 Pengaruh Tegangan Terhadap Sintesis Nanopartikel Magnetit (Fe_3O_4)	33
Tabel IV.3 Hasil Analisis XRD Nanopartikel Magnetit (Fe_3O_4) Pada Tegangan 10V	33
Tabel IV.4 Hasil Analisis XRD Nanopartikel Magnetit (Fe_3O_4) Pada Tegangan 15V	33
Table IV.5 Diameter Partikel Fe_3O_4 Pada Variasi Tegangan	34
Tabel IV.6 Hasil Analisis TEM Nanopartikel Fe_3O_4 Pada Variasi Tegangan	34
Tabel IV.7 Adsorptivitas Nanopartikel Fe_3O_4 Terhadap Logam Tembaga (Cu) Pada Variasi Waktu Kontak	35
Tabel IV.8 Adsorptivitas Nanopartikel Fe_3O_4 Terhadap Logam Tembaga (Cu) Pada Variasi Konsentrasi	36

DAFTAR GAMBAR

Gambar II.1 Struktur Kristal Fe_3O_4	9
Gambar II.2 Sintesis Fe_3O_4 dari FeSO_4	14
Gambar II.3 Rangkaian Alat Elektroplating	16
Gambar II.2 Logam Tembaga	19
Gambar II.3 <i>X-Ray Fluorescence</i> (XRF).....	22
Gambar II.4 <i>X-Ray Diffraction</i> (XRD).....	23
Gambar II.5 <i>Transmission Electron Microscopy</i> (TEM)	25
Gambar II.6 <i>Atomic Absorption Spectroscopy</i> (AAS)	26
Gambar IV.7 Grafik Hubungan Antara Waktu Kontak Dan Efektivitas Penyerapan	44
Gambar IV.8 Grafik Hubungan Antara Konsentrasi Dan Efektivitas Penyerapan	46

ABSTRAK

Nama : Ria Rukmana Yamin

NIM : 60500112069

Judul : Sintesis Nanopartikel Magnetit Dengan Metode Elektrolisis dan Uji Adsorptivitas Terhadap Logam Tembaga (Cu)

Pencemaran lingkungan merupakan suatu permasalahan global yang menjadi tolak ukur kualitas hidup makhluk hidup, salah satu pencemaran yang paling sering dijumpai adalah pencemaran lingkungan yang disebabkan paparan logam berat. Metode yang dapat digunakan untuk menanggulangi pencemaran logam berat adalah adsorpsi menggunakan nanopartikel magnetit. Nanopartikel magnetit adalah senyawa oksida besi yang dapat disintesis dengan metode elektrolisis secara elektro-oksidasi besi dalam air demineralisasi pH 10. Penelitian ini bertujuan untuk mengetahui pengaruh variasi voltase (5, 10 dan 15 V) terhadap ukuran partikel yang dihasilkan serta pengaruh waktu kontak dan konsentrasi larutan terhadap persentase logam tembaga (II) teradsorpsi sehingga diperoleh kondisi optimum. Tahap awal yaitu sintesis nanopartikel magnetit dengan metode elektrolisis, diikuti karakterisasi dengan XRD dan TEM. Tahap akhir yaitu proses adsorpsi logam tembaga (II) oleh magnetit hasil sintesis. Persentase logam tembaga (II) teradsorpsi ditentukan dengan AAS. Hasil penelitian ini menunjukkan nanopartikel dengan ukuran kristal maksimum diperoleh pada voltase sintesis 10 V yaitu 35,24 nm dengan bentuk kristal kubik (FCC). Nanopartikel yang dihasilkan mampu menyerap logam tembaga (II) dengan kondisi optimum adsorpsi pada waktu kontak 60 menit dan konsentrasi 100 mg/L sebesar 99,96%

Kata kunci: Nanopartikel, Magnetit, Elektrolisis, Adsorpsi, Tembaga (II).

ABSTRACT

Name : Ria Rukmana Yamin

NIM : 60500112069

Title : Synthesis Of Magnetite Nanoparticles By Electrolysis Method And Adsorption Of Copper (II).

Environmental Pollution is an issue of global to benchmark quality of life a living creature, one of the pollution that most often found is environmental pollution caused by exposure to heavy metal. The method can be used to deal with pollution heavy metal is adsorpsi the use of magnetite nanoparticles. Magnetite nanoparticles is the metal oxides that can be synthesized by electrolysis method in electro-oxidation of iron in the demineralized water pH 10. This study aims to determine the influence of the voltage (5, 10 and 15 V) to the size of particles produced as well as optimum condition of the percentage of copper (II) adsorbed by the particles in various contact time and concentrate of the solution. Initial stage starting from the electrolysis synthesis of magnetite nanoparticles, followed by characterization of XRD and TEM. The final stage was the adsorption process of copper (II) using magnetite nanoparticles as adsorbent. Percent of adsorbed copper (II) was determine by AAS. The result of this study showed the magnetite nanoparticles with optimum size in 10 V which 35,24 nm with crystal FCC. Optimum Absorption at 60 minute contact time and 100 ppm for most of copper (II) with percent of sorption 99,96%.

Key Word: Nanoparticles, Magnetite, Electrolysis, Adsorpsi, Copper (II).

BAB I

PENDAHULUAN

A. Latar Belakang

Pencemaran lingkungan merupakan salah satu faktor yang mempengaruhi kualitas kehidupan makhluk hidup sehingga masalah pencemaran lingkungan ini menjadi salah satu persoalan global yang tak terpisahkan dari kehidupan manusia. Lingkungan bersih yang tak tercemar menjadi barang langka yang sangat sulit didapatkan. Pencemaran lingkungan seharusnya tidak hanya dipandang dari segi kepentingan manusia semata, namun juga difokuskan pada menurunnya kualitas dan daya dukung bagi hewan, tumbuhan ataupun mikroba yang pada akhirnya mempengaruhi kehidupan manusia (Sofyan, 2012).

Pencemaran lingkungan sering pula dikaitkan dengan keberadaan industri. Hal ini tidak lepas dari kegiatan industri yang melibatkan bahan-bahan kimia yang berbahaya terutama limbah industri yang jika terlepas ke lingkungan tanpa melalui proses pengolahan lebih lanjut dapat mencemari lingkungan sekitarnya. Sebagaimana Allah SWT senantiasa mengisyaratkan kepada manusia untuk mengembangkan, memperluas ilmu pengetahuan dan mencari apa yang telah Allah karuniakan karena sesungguhnya Allah menciptakan sesuatu dengan tidak sia-sia (dengan suatu tujuan), dan dengan itu Allah memerintahkan seluruh umat-Nya untuk memanfaatkan dan menjaga segala nikmat yang telah Ia karuniakan.

Sebagaimana Firman Allah SWT dalam Q.S. Al-A'raaf (7) : 56

وَلَا تُفْسِدُوا فِي الْأَرْضِ بَعْدَ إِصْلَاحِهَا وَادْعُوهُ خَوْفًا وَطَمَعًا إِنَّ رَحْمَتَ اللَّهِ قَرِيبٌ مِّنَ الْمُحْسِنِينَ ٥٦

Terjemahnya:

“Dan janganlah kamu membuat kerusakan di muka bumi, sesudah (Allah) memperbaikinya dan berdoalah kepada-Nya dengan rasa takut (tidak akan diterima) dan harapan (akan dikabulkan). Sesungguhnya rahmat Allah amat dekat kepada orang-orang yang berbuat baik” (Kementrian Agama RI, 2009).

Dalam ayat ini Allah memerintahkan hamba-hamba-Nya untuk memperbaiki kerusakan di muka bumi. Salah satu bentuk perbaikan yang dilakukan Allah adalah dengan mengutus para nabi sebagai khalifah untuk meluruskan dan memperbaiki kehidupan yang kacau (Shihab, 2002).

Tafsir diatas menerangkan peranan manusia untuk memperbaiki kerusakan dimuka bumi. Salah satu kerusakan yang sering ditemui adalah pencemaran lingkungan yang disebabkan oleh aktivitas manusia. Limbah yang dihasilkan dari aktivitas manusia mengandung berbagai macam zat organik dan zat anorganik. kandungan zat anorganik yang berbahaya yaitu logam berat yang ada di hampir setiap limbah khususnya pada limbah cair yang dapat diatasi dengan cara penyerapan logam berat dengan bantuan adsorben yang dapat berasal dari berbagai macam bahan.

Logam berat merupakan jenis pencemar yang sangat berbahaya dalam sistem lingkungan hidup karena bersifat tak dapat terbiodegradasi, toksik, serta mampu mengalami bioakumulasi dalam rantai makanan (Shofiyani dan Gusrizal, 2006). Pencemaran logam berat terhadap lingkungan merupakan suatu proses yang erat hubungannya dengan penggunaan logam tersebut dalam kegiatan manusia yang secara sengaja maupun tidak sengaja membuang limbah yang mengandung logam berat ke

lingkungan. Logam-logam tertentu dalam konsentrasi tinggi akan sangat berbahaya bila ditemukan di dalam lingkungan.

Salah satu metode yang dapat digunakan untuk menanggulangi pencemaran logam berat adalah adsorpsi dengan menggunakan nanopartikel. Dewasa ini nanopartikel banyak dikembangkan oleh para peneliti yang bermanfaat untuk berbagai bidang, salah satunya yaitu penyerapan logam berat. Partikel dalam ukuran nanometer memiliki luas permukaan yang besar dengan mengecilnya ukuran. Salah satu nanopartikel yang telah banyak digunakan dan dikembangkan oleh ilmuwan adalah magnetit (Fe_3O_4) (Teja dan Koh, 2009). Magnetit banyak digunakan sebagai adsorben logam berat karena menunjukkan sifat super paramagnetik. Selain itu luas permukaan partikel magnetit yang besar sehingga memiliki kapasitas yang besar untuk mengadsorpsi ion logam berat (Mahmuda, dkk, 2014).

Sintesis nanopartikel Fe_3O_4 telah banyak dikembangkan melalui metode konvensional, seperti metode kompresipitas dan metode inovatif yang sering digunakan yaitu metode sol-gel, hidrotermal, sonokimia dan elektrokimia. Metode elektrokimia merupakan metode paling sederhana yang dipengaruhi oleh beberapa faktor yakni pH, konsentrasi larutan, rapat arus, waktu elektrolisis dan waktu pengadukan. Pengontrolan ukuran partikel magnetit dengan metode elektrokimia lebih mudah dilakukan melalui variasi terhadap faktor-faktor tersebut dengan hasil nanopartikel yang bersifat super paramagnetik.

Berdasarkan penelitian Dwi Wahyu Ningsih, dkk (2013) melakukan sintesis nanopartikel magnetit secara elektrokimia dan aplikasinya sebagai adsorben ion $\text{Cd}(\text{II})$ dengan membandingkan pengaruh jarak antar elektroda pada sintesis dengan voltase tinggi terhadap karakter partikel yang dihasilkan. Semakin besar jarak antar elektroda

maka semakin kecil diameter partikel magnetit yang dihasilkan. Nanopartikel magnetit hasil elektrokimia ini dapat mengadsorpsi 96,37% ion Cd^{2+} pada pH 8 selama 30 menit. Penelitian selanjutnya yaitu Diah Mahmuda, dkk (2014) melakukan sintesis nanopartikel magnetit melalui metode kopresipitas sebagai adsorben logam tembaga (Cu), mangan (Mn) dan nikel (Ni) dalam limbah cair, dengan hasil penurunan kadar logam Cu 99,79%, Ni 69,38% dan Mn 44,53% pada pH 12. Penelitian lainnya yaitu Sri Susanti (2014) melakukan kajian struktur kristal nanopartikel magnetit sebagai fungsi temperatur dari hasil sintesis dengan metode sonokimia, menghasilkan nanopartikel dengan ukuran $22,69 \pm 1,59$ nm pada temperatur 30°C , $24,30 \pm 1,20$ nm pada temperatur 50°C dan $20,60 \pm 0,60$ nm pada temperatur 80°C . Berdasarkan latar belakang diatas maka dilakukan penelitian untuk mengetahui sintesis nanopartikel magnetit (Fe_3O_4) secara elektrolisis dan aplikasinya terhadap penyerapan logam tembaga (Cu).

B. Rumusan Masalah

Berdasarkan latar belakang diatas diperoleh rumusan masalah sebagai berikut:

1. Bagaimana karakteristik nanopartikel magnetit yang diperoleh dari pengukuran *x-ray diffraction* (XRD) dan *transmission electron microscopy* (TEM)?
2. Berapa besar efektivitas penurunan kadar logam tembaga (Cu) dengan nanopartikel magnetit?

C. Tujuan penelitian

Mengarah pada rumusan masalah sehingga diperoleh tujuan penelitian yaitu :

1. Mengetahui karakteristik nanopartikel magnetit yang dihasilkan dari pengukuran *x-ray diffraction* (XRD) dan *transmission electron microscopy* (TEM).
2. Mengetahui berapa besar efektivitas penurunan kadar logam tembaga (Cu) dengan nanopartikel magnetit.

D. Manfaat Penelitian

Adapun manfaat yang diharapkan dari hasil penelitian ini adalah:

1. Bagi peneliti, sebagai sarana untuk menambah dan memperdalam ilmu tentang nanopartikel dan pengaplikasiannya.
2. Bagi peneliti selanjutnya, sebagai sumber rujukan untuk penelitian lanjutan dan penelitian yang membahas tentang aplikasi nanopartikel magnetit (Fe_3O_4) dan uji absorptivitas logam tembaga (Cu).
3. Bagi Universitas Islam Negeri Alauddin, sebagai sumber informasi tambahan akan penggunaan nanopartikel magnetit (Fe_3O_4) sebagai adsorben logam tembaga (Cu) dan untuk mengurangi pencemaran air.

BAB II

TINJAUAN PUSTAKA

A. Nanosains

1. Nanopartikel

Nanopartikel didefinisikan sebagai partikel-partikel padatan dengan ukuran partikel berkisar 10 – 100 nm. Material nanopartikel telah banyak menarik peneliti karena material nanopartikel menunjukkan sifat fisika dan kimia yang sangat berbeda dari bagian besar materialnya seperti kekuatan mekanik, elektronik, magnetik, kestabilan termal, katalitik dan optik. Ada dua hal utama yang membuat nanopartikel berbeda dengan material sejenis dalam ukuran besar yaitu: (a) karena ukurannya yang kecil, nanopartikel memiliki nilai perbandingan antara luas permukaan dan volume yang lebih besar jika dibandingkan dengan partikel sejenis dalam ukuran besar. Ini membuat nanopartikel bersifat lebih reaktif. Reaktivitas material ditentukan oleh atom-atom di permukaan, karena hanya atom-atom tersebut yang bersentuhan langsung dengan material lain, (b) ketika ukuran partikel menuju orde nanometer, hukum fisika yang berlaku lebih didominasi oleh hukum-hukum fisika kuantum (Abdullah, dkk, 2008).

Sifat-sifat yang berubah pada nanopartikel berkaitan dengan fenomena kuantum dan perubahan rasio jumlah atom yang menempati permukaan terhadap jumlah total atom. Dimana fenomena kuantum mengakibatkan keterbatasan ruang gerak elektron dan pembawa muatan lainnya dalam partikel yang berdampak pada beberapa sifat material seperti perubahan warna yang dipancarkan, transparansi, kekuatan mekanik, konduktivitas listrik dan magnetisasi. Sedangkan perubahan rasio

jumlah atom yang menempati permukaan terhadap jumlah total atom berakibat pada perubahan titik didih, titik beku dan reaktivitas kimia. Perubahan-perubahan tersebut dapat menjadi keunggulan nanopartikel dibandingkan dengan partikel sejenis dalam keadaan besar (Abdullah, dkk, 2008).

Allah SWT berfirman dalam Q.S Yunus (10) : 61

وَمَا تَكُونُ فِي شَأْنٍ وَمَا تَتْلُوا مِنْهُ مِنْ قُرْآنٍ وَلَا تَعْمَلُونَ مِنْ عَمَلٍ إِلَّا كُنَّا عَلَيْكُمْ شُهُودًا إِذْ تُفِيضُونَ فِيهِ وَمَا يَعْزُبُ عَنْ رَبِّكَ مِنْ مِثْقَالِ ذَرَّةٍ فِي الْأَرْضِ وَلَا فِي السَّمَاءِ وَلَا أَصْغَرَ مِنْ ذَلِكَ وَلَا أَكْبَرَ إِلَّا فِي كِتَابٍ مُبِينٍ ۝

Terjemahnya:

“Kamu tidak berada dalam suatu keadaan dan tidak membaca suatu ayat dari Al Quran dan kamu tidak mengerjakan suatu pekerjaan, melainkan Kami menjadi saksi atasmu di waktu kamu melakukannya. Tidak luput dari pengetahuan Tuhanmu biarpun sebesar zarah di bumi ataupun di langit. Tidak ada yang lebih kecil dan tidak (pula) yang lebih besar dari itu, melainkan (semua tercatat) dalam kitab yang nyata (Lauh Mahfuzh)” (Kementrian Agama RI, 2009).

Dalam ayat ini Allah mengisyaratkan bagian atau sesuatu yang kecil sekalipun (atom) tidak ada yang tidak diketahui oleh Allah dan tidak ada satupun yang luput dari penglihatannya. Sesungguhnya ciptaan-Nya tidak ada yang sia-sia (Shihab, 2009).

Ayat diatas membahas tentang suatu partikel kecil. Salah satu partikel berukuran kecil yang mempunyai manfaat yang dapat dirasakan saat ini adalah suatu partikel berukuran nano. Dewasa ini peneliti sedang ramai mengembangkan teknologi ini untuk berbagai manfaat, salah satunya adalah sebagai adsorben.

Nanopartikel dapat disintesis dalam fasa padat, cair maupun gas dengan proses sintesis secara fisika maupun kimia. Proses sintesis nanopartikel secara fisika tidak melibatkan reaksi kimia, melainkan dengan cara pemecahan material besar menjadi material berukuran nanometer atau dengan penggabungan material *kluster* menjadi

material berukuran nanometer tanpa mengubah sifat bahan. Proses sintesis nanopartikel secara kimia melibatkan reaksi kimia dari sejumlah material awal (*precursor*) sehingga menghasilkan material lain yang berukuran nanometer (Abdullah, dkk, 2008).

2. Nanopartikel Magnetit

Magnetit (Fe_3O_4) merupakan salah satu oksida besi yang menunjukkan kemagnetan paling kuat diantara oksida-oksida besi lainnya seperti maghemit ($\gamma\text{-Fe}_2\text{O}_3$) dan hematit ($\alpha\text{-Fe}_2\text{O}_3$) sehingga banyak dimanfaatkan dalam berbagai bidang. Sebagaimana Firman Allah SWT dalam Q.S. Al-Hadid (57) : 25

لَقَدْ أَرْسَلْنَا رُسُلَنَا بِالْبَيِّنَاتِ وَأَنْزَلْنَا مَعَهُمُ الْكِتَابَ وَالْمِيزَانَ لِيَقُومَ النَّاسُ بِالْقِسْطِ وَأَنْزَلْنَا
الْحَدِيدَ فِيهِ بَأْسٌ شَدِيدٌ وَمَنْفَعٌ لِلنَّاسِ وَلِيَعْلَمَ اللَّهُ مَنْ يَنْصُرُهُ وَرُسُلَهُ بِالْغَيْبِ إِنَّ اللَّهَ
قَوِيٌّ عَزِيزٌ ۝

Terjemahnya:

“Sesungguhnya Kami telah mengutus rasul-rasul Kami dengan membawa bukti-bukti yang nyata dan telah Kami turunkan bersama mereka Al Kitab dan neraca (keadilan) supaya manusia dapat melaksanakan keadilan. Dan Kami ciptakan besi yang padanya terdapat kekuatan yang hebat dan berbagai manfaat bagi manusia, (supaya mereka mempergunakan besi itu) dan supaya Allah mengetahui siapa yang menolong (agama)Nya dan rasul-rasul-Nya padahal Allah tidak dilihatnya. Sesungguhnya Allah Maha Kuat lagi Maha Perkasa” (Kementrian Agama RI, 2009).

Ayat diatas menjelaskan Allah telah mengutus rasul-rasul membawa bukti nyata sehingga tidak ada dalih yang mendustakan mereka dan Allah juga menciptakan kepada mereka besi yang padanya terdapat kekuatan yang hebat antara lain dapat dijadikan alat untuk melawan kezaliman dan berbagai manfaat lain bagi kebutuhan dan kenyamanan hidup manusia (Shihab, 2009).

Ayat ini menegaskan besi merupakan suatu unsur yang memiliki kekuatan besar, ini dibuktikan dari letak besi di pusat bumi yang mengakibatkan medan magnet

dan gaya gravitasi. Sebagai bahan tambang pertama, besi sudah banyak dimanfaatkan sebagai berbagai macam produk untuk membantu kegiatan manusia, seiring perkembangan zaman pemanfaatan besi menjadi lebih luas dalam persenyawaannya.

Magnetit merupakan salah satu senyawa oksida besi yang memiliki manfaat yang luas karena sifat kemagnetannya yang kuat dalam skala nanometer, salah satunya sebagai pengikat logam berat (adsorben) yang terkandung dalam air limbah. Daya serapnya semakin tinggi seiring dengan luas permukaannya yang besar serta kemampuan merespon medan magnet sehingga memudahkan dalam pemisahan adsorben dari larutan (Teja dan Koh, 2009).



Gambar II.1 Struktur Kristal Fe_3O_4 (Maylani, 2015)

Sifat partikel nanomagnetik bergantung pada ukurannya. Sebagai contoh, ketika ukuran suatu partikel nanomagnetik di bawah 10 nm, akan bersifat superparamagnetik pada temperatur ruang, artinya bahwa energi termal dapat menghalangi anisotropi energi penghalang dari sebuah partikel nanotunggal. Karena itu, untuk mensintesis partikel nano yang seragam dilakukan beberapa metode dengan mengatur ukurannya sehingga menjadi salah satu kunci masalah dalam ruang lingkup sintesis nanopartikel. Partikel dalam ukuran nanometer memiliki luas permukaan yang besar dengan mengecilnya ukuran (Abdullah, 2009).

sifat	Oksida		
	Hematit	Magnetit	Magemit
Rumus Molekul	$\alpha\text{-Fe}_2\text{O}_3$	Fe_3O_4	$\gamma\text{-Fe}_2\text{O}_3$
Densitas (g/cm^3)	5,25	5,18	4,87
Titik leleh ($^{\circ}\text{C}$)	1350	1583-1597	-
pH	6,5	5,5	5
Sifat Kemagnetan	Ferromagnetik lemah atau antiferromagnetik	Ferromagnetik	Ferrimagnetik
M_s pada 300 K ($\text{A}\cdot\text{m}^2/\text{kg}$)	0,3	92-100	60-80
Energi pembentukan bebas ΔG_f° (kg/mol)	-742,7	-1012,6	-711,1
Struktur Kristal	Rombohedral, Heksagonal	Kubus	Kubus atau tetrahedral
Tipe struktur	Corundum	Spinel terbalik	Spinel cacat
Gugus ruang	R3c (Heksagonal)	Fd3m	P4 ₃ 32 (Kubus), P4 ₁ 2 ₁ 2
Parameter kisi (nm)	a= 0,5034, c= 1,375 (heksagonal), agb= 0,5427, a= 55,3o (rombohedral)	a= 0,8396	a= 0,83474 (kubus), a= 0,8347, c= 2,501 (tetragonal)

Tabel II.1 Sifat Fisik dan Kimia Senyawa Oksida Besi (Maylani, 2015)

Allah SWT berfirman dalam Q.S. Al-Anbiyah (21) : 16

وَمَا خَلَقْنَا السَّمَاءَ وَالْأَرْضَ وَمَا بَيْنَهُمَا لِعِبَادِنَا

Terjemahnya:

“Dan tidaklah Kami ciptakan langit dan bumi dan segala yang ada di antara keduanya dengan bermain-main” (Kementrian Agama RI, 2009).

Tidak wajar bagi kami melakukan selain apa yang telah kami lakukan itu, yakni menepati janji kami dan menyiksa para pembangkang, karena tidaklah kami ciptakan langit dan bumi dan segala yang ada diantar keduanya dengan tata aturan yang demikian rapi, indah dan harmonis dengan main-main, yakni tanpa arah dan tujuan yang benar, tetapi untuk menunjukkan kekuasaan kami (Shihab, 2009).

Ayat diatas menjelaskan tidak ada satupun yang diciptakan oleh Allah tidak mempunyai manfaat untuk kesejahteraan umat-Nya. Salah satunya adalah pemanfaatan partikel magnetit.

Penggunaan partikel magnetik banyak digunakan dalam berbagai bidang khususnya dalam bidang industri dan biomedikal yang biasanya menuntut sifat superparamagnetik dan terdispersi atau membentuk koloid stabil dalam air berlingkungan pH netral dan garam fisiologi. Kestabilan partikel magnetik bergantung pada beberapa faktor diantaranya ukuran, muatan dan lias permukaan. Semakin kecil ukuran partikel, pengaruh gaya gravitasi semakin dapat diabaikan. Sedangkan peningkatan luas permukaan memungkinkan adanya gaya tolak-menolak antar partikel sehingga partikel dapat stabil terdispersi dalam air. Demikian pula sifat superparamagnetik akan dapat dicapai bila ukuran partikel magnet makin kecil yang mengakibatkan makin kecil pula interaksi antar partikel (Afandi, dkk, 2007).

B. Elektrokimia

Elektrokimia merupakan suatu proses reaksi kimia yang menghasilkan arus listrik atau sebaliknya. Sel elektrokimia melibatkan reaksi redoks, oleh karena reaksi redoks melibatkan transfer elektron, maka reaksi tersebut dapat dimanfaatkan untuk membangkitkan arus listrik, yakni aliran elektron dari potensial tinggi ke potensial rendah (Sunarya, 2012). Sel elektrokimia dibedakan menjadi 2, yaitu: sel galvani dan sel elektrolisis. Dalam sel galvani reaksi kimia yang berlangsung bersifat spontan dan menghasilkan arus listrik. Katoda merupakan kutub positif dan anoda merupakan kutub negatif. Dalam sel elektrolisis aliran listrik menyebabkan berlangsungnya suatu reaksi kimia. Katoda merupakan kutub negatif, sedangkan anoda kutub positif. (Dogra, 2013).

Sel galvani merupakan sel yang menghasilkan arus listrik. Pada sel ini, anoda berfungsi sebagai elektroda bermuatan negatif dan katoda bermuatan positif. Arus mengalir dari anoda ke katoda akan menghasilkan reaksi kimia yang berlangsung spontan. Syarat-syarat sel galvani antara lain: reaksi redoks terjadi secara spontan, hasil

reaksi menghasilkan energi dan $G^{\circ} < 0$ dan E°_{sel} adalah positif (Riyanto, 2013). Sel galvanik terdiri dari dua setengah reaksi yang dipisahkan secara fisik. Pada sel ini, dua setengah reaksi dihubungkan secara eksternal untuk mengalirkan elektron hasil oksidasi dari satu elektroda (anoda) ke elektroda lain (katoda), sedangkan untuk menetralkan kelebihan ion-ion pada masing-masing larutan setengah sel digunakan jembatan garam yang dihubungkan secara internal.

Sel elektrolisis merupakan sel yang bekerja menggunakan arus listrik untuk menghasilkan reaksi kimia yang tidak spontan atau reaksi kimia yang memiliki potensial sel negatif (Sunarya, 2012). Pada sel ini energi listrik digunakan untuk berlangsungnya suatu reaksi kimia. Energi e.m.f yang diperlukan untuk berlangsungnya proses ini akan sedikit lebih tinggi dari pada e.m.f yang dihasilkan oleh reaksi kimia yang didapat dari lingkungannya. Keseimbangan akan terjadi apabila harga ΔG dan E sama dengan nol (Dogra, 2013). Pada sel elektrolisis anoda berfungsi sebagai elektroda positif dan katoda bermuatan negatif, sehingga arus listrik mengalir dari anoda ke katoda. Sel ini terdiri dari sumber arus searah yang dihubungkan dengan kawat pengantar pada dua buah elektroda yang dicelupkan dalam bejana berisi larutan elektrolit (Riyanto, 2013).

Elektrolisis memiliki aplikasi penting, misalnya isi ulang baterai, produksi logam aluminium dari bijihnya dan pelapisan krom pada objek tertentu. Elektroda yang digunakan dalam sel elektrolisis terdiri dari dua jenis, yaitu:

- a. Elektroda inert, adalah elektroda yang tidak ikut bereaksi baik sebagai katoda maupun anoda, sehingga dalam sel elektrolisis yang mengalami reaksi redoks adalah elektrolit sebagai zat terlarut dan atau air sebagai pelarut. Contohnya adalah karbon (C) dan platina (Pt).

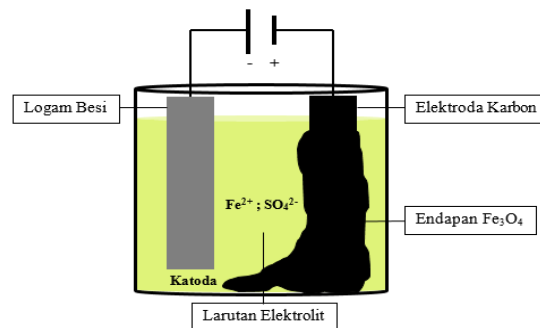
- b.** Elektroda tidak inert, adalah elektroda yang ikut bereaksi, terutama jika digunakan sebagai anoda, dapat mengalami reaksi oksidasi. Contohnya adalah Fe, Al, Cu, Zn, Ag dan Au.

Sel elektrolisis sederhana dapat dilihat pada reaksi lelehan garam dengan menyambungkan baterai sebagai sumber arus listrik searah dengan kedua katoda yang dicelupkan kedalam larutan NaCl. Pada elektroda yang dihubungkan dengan kutub positif baterai terbentuk gas klorin, dengan setengah reaksinya adalah:



Anoda pada sel elektrolisis anoda adalah tempat berlangsungnya reaksi oksidasi dan katoda adalah elektroda tempat berlangsungnya reaksi reduksi. Dalam reaksi ini terjadi reduksi ion Na^+ menjadi logam Na di katoda dan oksidasi ion Cl^- menjadi gas Cl_2 di anoda. Elektrolisis ini digunakan untuk memperoleh logam natrium dari lelehan natrium klorida. Logam lain yang dapat diperoleh dengan cara elektrolisis lelehan garam adalah logam litium, magnesium dan kalsium (Sunarya, 2012).

Sel elektrolisis dapat digunakan untuk menghasilkan suatu produk, salah satunya yaitu sintesis Fe_3O_4 dari FeSO_4 . Sel elektrolisis menggunakan anoda karbon dan katoda besi. Larutan yang digunakan elektrolit campuran dari FeSO_4 dan H_2SO_4 . Sel elektrolisis pembentukan ditunjukkan dalam gambar II.2 seperti berikut:



Gambar II.2 Sintesis Fe_3O_4 dari FeSO_4 (Riyanto, 2013)

Salah satu aplikasi metode elektrolisis dalam industri yang banyak dikembangkan saat ini adalah teknik elektroplating. Elektroplating merupakan proses pelapisan logam dengan logam lain didalam suatu larutan elektrolit dengan pemberian arus listrik. Konsep yang digunakan dalam proses elektroplating adalah konsep reaksi reduksi dan oksidasi dengan menggunakan sel elektrolisis. Dalam sel elektrolisis arus yang akan dialirkan akan menimbulkan reaksi reduksi dan oksidasi dengan mengubah energi listrik menjadi energi kimia. Proses pelapisan terjadi jika suatu benda yang akan dilapisi berfungsi sebagai katoda dan benda pelapis sebagai anoda dicelupkan kedalam larutan elektrolit dengan konsentrasi tertentu, kemudian arus dialirkan kedalam larutan tersebut maka ion-ion pada anoda akan terurai kedalam larutan dan akan melapisi benda yang akan berfungsi sebagai katoda, proses pelapisan ini dapat terjadi karena lepasnya elektron dari atom-atom yang kemudian masuk kedalam larutan sebagai ion-ion. Banyaknya ion yang diuraikan tergantung dari besarnya arus yang dialirkan. Semakin besar arus yang dialirkan semakin banyak ion yang diuraikan begitu pula sebaliknya (Widodo, dkk, 2014).

Teknik pelapisan logam menggunakan logam lain telah dijelaskan dalam Q.S Al-Kafh (18) : 96

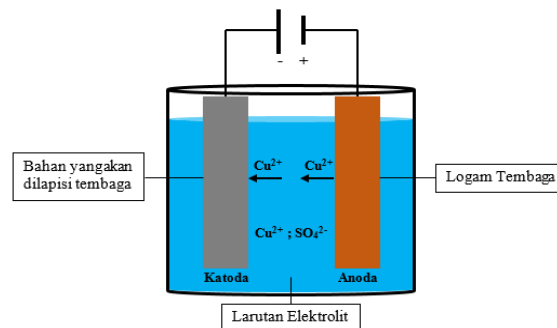
ءَاتُونِي زُبَرَ الْحَدِيدِ حَتَّىٰ إِذَا سَاوَىٰ بَيْنَ الصَّدَفَيْنِ قَالَ أَنْفُخُوا حَتَّىٰ إِذَا جَعَلَهُ نَارًا قَالَ
ءَاتُونِي أُفْرِغْ عَلَيْهِ قِطْرًا ٩٦

Terjemahnya:

“Berilah aku potongan-potongan besi". Hingga apabila besi itu telah sama rata dengan kedua (puncak) gunung itu, berkatalah Dzulkarnain: "Tiuplah (api itu)". Hingga apabila besi itu sudah menjadi (merah seperti) api, diapun berkata: "Berilah aku tembaga (yang mendidih) agar aku kutuangkan ke atas besi panas itu" (Kementrian Agama RI, 2009).

Ayat diatas menjelaskan petunjuk Allah kepada Dzulkarnain untuk menguatkan besi (*zubrah*) digunakan campuran tembaga (*qathara*). Dewasa ini teknik pencampuran logam ataupun pelapisan logam untuk menguatkan logam tersebut sudah banyak digunakan. Hal ini menjelaskan bahwa suatu yang telah diabadikan dalam kitab Al-Qur'an merupakan salah satu hakikat yang telah mendahului penemuan ilmiah sekian abad lamanya (Shihab, 2009).

Pelapisan logam besi dengan logam tembaga yang di jelaskan dalam ayat diatas dapat dibuktikan dengan melihat potensial energi dari kedua unsur tersebut. Pada dasarnya besi akan lebih mudah mengalami oksidasi atau kerusakan seperti korosi dibandingkan tembaga, dengan adanya tembaga yang dicampurkan dan melapisi besi tersebut, besi akan menjadi lebih kuat dan tidak mengalami kerusakan.



Gambar II.3 Rangkaian Alat Elektroplating (Riyanto, 2013)

Gambar II.3 menunjukkan rangkaian alat untuk penyepuhan bahan dengan tembaga menggunakan larutan tembaga sulfat (CuSO_4). Katoda merupakan bagian yang dilapisi, bermuatan negatif. Beberapa elektron dari katoda transfer elektron dengan ion tembaga bermuatan positif (Cu^{2+}) dan membebaskannya sebagai atom logam tembaga. Atom tembaga ini mengambil tempat di permukaan katoda. Pada saat yang sama, ion sulfat (SO_4^{2+}) dibuang pada noda tembaga, sehingga melengkapi rangkaian listrik. Dengan demikian, mereka membentuk kuantitas baru sulfat tembaga yang larut dalam larutan dan kembali preposisi semula, prosedur ini berlaku untuk proses elektroplating biasa dengan elektrode karbon (Riyanto, 2013).

Hukum yang berkaitan langsung dengan proses elektroplating adalah hukum Faraday yang menyatakan tentang kaitan antara arus listrik yang mengalir dengan jumlah logam yang terbentuk pada proses elektroplating. Faraday juga menyatakan bahwa jumlah logam dan berat ekuivalen suatu logam yang diendapkan berbanding lurus dengan arus listrik yang dialirkan.

C. Adsorpsi

Peristiwa adsorpsi merupakan suatu fenomena permukaan, yaitu terjadinya penambahan konsentrasi komponen tertentu pada permukaan antara dua fase. Adsorpsi dapat dibedakan menjadi adsorpsi fisis dan adsorpsi kimia. Secara umum adsorpsi fisis mempunyai gaya intermolekular yang relatif lemah (Kundari, 2008). Adsorpsi fisis terjadi karena adanya gaya Van Der Waals dimana ketika gaya tarik substansi terlarut dan larutan sehingga substansi terlarut akan diadsorpsi oleh permukaan media (Atkins, 1997). Sedangkan pada adsorpsi kimia terjadi pembentukan ikatan kimia antara molekul adsorbat dengan molekul yang terikat pada permukaan adsorben (Kundari, 2008). Adsorpsi kimia terjadi karena adanya reaksi kimia antara molekul-molekul adsorbat dengan permukaan adsorben dan hanya membentuk satu lapisan tunggal (monolayer). Umumnya terjadi pada temperatur di atas temperatur kritis adsorbat. Sehingga kalor adsorpsi yang dibebaskan tinggi. Adsorben yang mengadsorpsi secara kimia pada umumnya sulit diregenerasi (Bobi, 2008 dalam Maylani, 2015).

Adsorpsi terjadi pada permukaan zat padat karena adanya gaya elektrostatis atau gaya tarik antar molekul pada permukaan zat padat. Penyerapan bersifat selektif, yang diserap hanya zat terlarut atau pelarut. Bila dalam larutan terdapat dua jenis zat atau lebih, zat yang satu akan diserap lebih kuat dari yang lain. Adsorben padat yang baik yaitu porositas tinggi, permukaannya sangat luas sehingga terjadi pada banyak tempat (Sukardjo, 2002). Pada pengolahan limbah cair, adsorpsi digunakan untuk menghilangkan rasa, bau dan warna. Pada pengolahan lanjut air limbah, adsorpsi digunakan untuk menyerap bahan organik. Sedangkan pada pengolahan air limbah industri, adsorpsi terutama digunakan untuk menyerap senyawa-senyawa organik beracun (Budiyono, 2013).

Ketergantungan penutupan permukaan adsorben oleh adsorbat pada tekanan dan temperatur tertentu disebut isoterm adsorpsi. Jika suatu adsorben dibiarkan kontak dengan larutan, maka jumlah zat yang teradsorpsi akan bertambah naik secara bertahap sampai suatu keadaan seimbang tercapai. Proses penyerapan biasanya dinyatakan sebagai suatu isoterm adsorpsi (Atkins, 1997). Isoterm adsorpsi merupakan hubungan antara konsentrasi kesetimbangan (C_e) dan solut yang terserap (x) per satuan massa karbon (m), yang kemudian data-data ini dapat digunakan untuk menentukan konstantan isoterm adsorpsi dari persamaan Freundlich dan Langmuir (Budiyono, 2013).

D. Logam Tembaga (Cu)

Kuprum atau tembaga (Cu) termasuk golongan logam berwarna merah, serta mudah berubah bentuk dan termasuk dalam logam esensial. Dalam sistem periodik unsur kimia, tembaga menempati posisi dengan nomor atom (NA) 29 dan mempunyai berat atom (BA) 63,546 (Prihatiningsih, 2007). Unsur tembaga di alam dapat ditemukan dalam bentuk logam bebas, tetapi lebih banyak ditemukan dalam bentuk senyawa padat berbentuk mineral. Dalam badan perairan laut, tembaga ditemukan dalam bentuk persenyawaan ion seperti CuCO_3 , CuOH dan pada batuan mineral atau lapisan tanah tembaga ditemukan dalam bentuk kalkosit (Cu_2S), kovelit (CuS), kalkopirit (Cu_5FeS_4), bornit (Cu_3AsS_4) dan enargit (Cu_3AsS_4). Selain dalam bentuk mineral. Logam tembaga banyak ditemukan dalam bentuk teoksidasi seperti bijih kuprit (Cu_2O), tenorit (CuO), malasit ($\text{Cu}_2(\text{OH})_2\text{CO}_3$), azurit ($\text{Cu}_3(\text{OH})_2(\text{CO}_3)_2$), krisokola ($\text{CuSiO}_3 \cdot 2\text{H}_2\text{O}$) dan brokanit ($\text{Cu}_4(\text{OH})_6\text{SO}_4$) (Widowati, dkk, 2008).



Gambar II.4 Logam tembaga

Logam tembaga merupakan salah satu jenis logam berat yang banyak digunakan dalam berbagai kegiatan industri kimia seperti industri dalam bidang elektronika, karena secara fisika logam tembaga digolongkan ke dalam logam-logam penghantar listrik yang baik. Selain digunakan sebagai bahan baku peralatan elektronika logam tembaga juga biasa digunakan dalam pembuatan konstruksi, misalnya atap dan *plumbing*, dalam industri mesin, logam tembaga dijadikan sebagai pengganti penghantar panas dan untuk berbagai alloy. Logam tembaga dalam limbah industri tidak dapat diuraikan di alam sehingga logam tembaga akan terakumulasi di dalam tanaman dan hewan melalui tanah dan air (Widowati, dkk, 2008).

Logam tembaga secara alami ditemukan pada batu-batuan dan mineral lainnya, maka dari itu logam tembaga secara normal merupakan unsur dari tanah, sedimen, air dan organisme hidup serta akan menyebabkan pencemaran bila konsentrasinya telah melebihi batas normal. Jadi konsentrasi relatif logam dalam media adalah hal yang paling penting (Alloway dan Ayres, 1993).

Logam tembaga merupakan jenis logam yang masih dibutuhkan oleh tubuh dalam jumlah sedikit dalam tubuh makhluk hidup. Ambang batas penyebaran logam tembaga dalam tubuh makhluk hidup khususnya manusia yaitu 0,005-25 mg/kg berat tubuh (Palar, 1994). Tersebarnya logam tembaga melewati ambang batas yang diizinkan akan menimbulkan keracunan pada manusia dan dapat menyebabkan

kematian. Oleh karena itu, diperlukan usaha-usaha untuk menanggulangi masalah pencemaran logam Cu agar konsentrasinya dalam limbah cair dalam batas aman (Kundari, 2008).

E. Pencemaran Lingkungan

Pencemaran lingkungan merupakan salah satu dampak yang timbul dari pembangunan yang tidak berwawasan. Pembangunan seperti ini mengakibatkan rusaknya lingkungan dan terganggunya ekosistem, baik ekosistem darat, udara maupun perairan. Pencemaran di perairan dapat terjadi karena limbah industri maupun limbah domestik dibuang ke perairan tanpa diolah terlebih dahulu, atau diolah tetapi kadar polutannya masih di atas baku mutu yang ditetapkan. Sesuai Undang-Undang RI No.32 Tahun 2009 tentang Perlindungan dan Pengelolaan Lingkungan Hidup, pada pasal 1 ayat 14 disebutkan bahwa pencemaran lingkungan adalah masuk atau dimasukkannya makhluk hidup, zat, energi dan atau komponen lain ke dalam lingkungan hidup oleh kegiatan manusia, sehingga melampaui baku mutu lingkungan hidup yang telah ditetapkan (Kusuma, 2014: 2).

Sebagaimana Firman Allah dalam Q.S. Ar-Rum (30) : 41

ظَهَرَ الْفَسَادُ فِي الْبَرِّ وَالْبَحْرِ بِمَا كَسَبَتْ أَيْدِي النَّاسِ لِيُذِيقَهُمْ بَعْضَ الَّذِي عَمِلُوا لَعَلَّهُمْ
يَرْجِعُونَ ٤١

Terjemahnya:

“Telah nampak kerusakan di darat dan di laut disebabkan karena perbuatan tangan manusia, supaya Allah merasakan kepada mereka sebahagian dari (akibat) perbuatan mereka, agar mereka kembali (ke jalan yang benar)” (Kementrian Agama RI, 2009).

Ayat diatas menyebut darat dan laut sebagai tempat terjadinya fasad (pencemaran). Ini dapat diartikan darat dan lautan menjadi tempat terjadinya banyak

kerusakan, ketiak seimbangan, serta kekurangan manfaat. Laut yang tercemar sehingga mempengaruhi hasil laut dan daratan yang semakin panas yang mengakibatkan terjadinya kemarau panjang. Hal ini membuktikan keseimbangan lingkungan yang sudah kacau. Alam raya diciptakan Allah dalam satu sistem yang sangat serasi dan sesuai dengan kehidupan manusia. Tetapi mereka melakukan kegiatan buruk yang merusak sehingga terjadi kepincangan dan ketiakseimbangan dalam sistem kerja alam (Shihab, 2009).

Ayat diatas menjelaskan bahwa kerusakan yang dirasakan oleh manusia saat ini merupakan akibat dari kegiatan, aktivitas maupun kebijakan manusia itu sendiri yang tidak mengindahkan pada kelangsungan kehidupan.

Pencemaran air berhubungan dengan pencemaran limbah yang tergantung pada sifat-sifat kontaminan yang memerlukan oksigen, memacu pertumbuhan algae, penyakit dan zat toksik. Pencemaran terhadap sumber daya air dapat terjadi secara langsung dari saluran pembuangan industri maupun rumah tangga atau secara tidak langsung melalui pencemaran air dan limpasan dari daerah pertanian dan perkotaan (Asmadi, 2012).

Salah satu bentuk pencemaran lingkungan adalah adanya limbah logam berat pada perairan. Hal ini disebabkan karena banyak pabrik mengalirkan limbah cair industrinya langsung ke sungai ataupun melalui saluran air menuju ke sungai. Logam-logam yang digolongkan sebagai logam berat adalah merkuri (Hg), timbal (Pb), arsen (As), kadmium (Cd), krom (Cr), tembaga (Cu) dan nikel (Ni) (Kusuma, 2014: 2).

Menurut Peraturan Pemerintah Republik Indonesia Nomor 82 tahun 2001, air limbah adalah sisa dari suatu usaha dan atau kegiatan yang berwujud cair. Air limbah dapat berasal dari rumah tangga maupun industri. Setiap aktivitas produksi dalam suatu

industri selalu menghasilkan air buangan. Oleh karena itu diperlukan penanganan lebih lanjut secara tepat agar tidak mencemari lingkungan (Asmadi, 2012).

F. Instrument Penelitian

a. X-Ray Fluorescence (XRF)

X-Ray Fluorescence (XRF) spectroscopy adalah metode analisa berdasarkan deteksi radiasi sinar-X yang diemisikan dari sampel yang sedang dianalisis. Metode ini dapat digunakan untuk mengidentifikasi dan menentukan konsentrasi senyawa dalam sampel dengan mengukur intensitas karakteristik emisi. Metode ini sangat sederhana, paling akurat dengan sangat ekonomis untuk penentuan komposisi kimia dari berbagai bahan, non-destruktif dan handal, tidak memerlukan atau sangat sedikit preparasi sampel dan cocok untuk sampel padat, cair dan bubuk. Metode ini dapat digunakan untuk penentuan berbagai unsur dari kalium (19) sampai uranium (92) dan memberi batas deteksi tingkat Ppm, tetapi dapat mengukur konsentrasi hingga 100% lebih mudah dan secara bersamaan (Shackley, 2008).



Gambar II.5 X-Ray Fluorescence (XRF)

Prinsip dasar *X-Ray Fluorescence (XRF) spectroscopy* adalah sinar_X mengeluarkan elektron yang terdapat pada kulit paling dalam dari suatu atom dan menyebabkan kekosongan elektron pada bagian ini, sehingga elektron pada kulit yang lebih luar akan mengisi kekosongan elektron pada kulit bagian dalam yang

menyebabkan pelepasan energi berupa energi foton atau memancarkan sinar-X (Schackley, 2008).

b. X-Ray Diffraction (XRD)

Difraktometri sinar-X merupakan metode karakterisasi material yang digunakan untuk mengidentifikasi fasa kristalin dalam material dengan cara menentukan parameter struktur kisi untuk mendapatkan ukuran partikel. Instrumen difraktometer sinar-X digunakan untuk mengidentifikasi cuplikan berupa kristal dengan memanfaatkan radiasi gelombang elektromagnetik sinar-X. Hasil yang diperoleh berupa intensitas relatif dan sudut hamburan. Hamburan sinar-X berasal dari atom-atom yang berbentuk bidang kisi dari cuplikan yang diamati (Ghozali, 2012).



Gambar II.6 X-Ray Diffraction (XRD)

Eksperimen difraksi sinar-x pertama kali dilakukan pada tahun 1921 oleh Friederich, Knipping dan Von Laue, dengan menggunakan susunan eksperimental. Sinar-x yang dihamburkan membentuk sebuah pola interferensi pada film fotografik berupa sebuah potret dan pola. Eksperimen ini membuktikan bahwa sinar-x adalah gelombang atau setidaknya bersifat menyerupai gelombang dan juga bahwa atom-atom adalah sebuah kristal yang disusun dalam sebuah pola yang teratur. Sejak itu, difraksi sinar-x telah terbukti sebagai sebuah alat penelitian yang sangat penting

untuk mengukur panjang gelombang sinar-x dan untuk mengukur struktur kristal (Young, 2000).

Pendekatan paling awal pada analisa pola difraksi yang dihasilkan oleh kristal, dengan menganggap bidang kisi sebagai cermin dan kristal sebagai tumpukan bidang kisi pemantul dengan pemisahan diameter kisi. Hal ini mempermudah perhitungan sudut yang harus dibuat antara kristal dengan berkas sinar-X datang, agar terjadi interferensi konstruktif. Model ini menghasilkan pantulan untuk menyatakan pantulan yang berasal dari interferensi konstruktif yang sudut pemantulnya dapat diketahui dengan berdasarkan hukum Bragg (Atkins, 1994).

Didalam setiap kristal dalam beberapa jenis bidang Bragg yang berbeda, masing-masing dengan jarak pisahnya sendiri dapat dibentuk dengan mengiris kristal tersebut melalui berbagai cara. Setiap jenis bidang ini dapat menaikan difraksi. Dengan begitu, jika sinar x dilewatkan kedalam kristal-kristal yang memiliki orientasi acak, pola difraksi yang berbentuk lingkaran-lingkaran konsentris akan teramati dilayar yang terletak di belakang sampel. Sebuah lingkaran tertentu akan berhubungan dengan difraksi orde tertentu yang dihasilkan oleh bidang tertentu pula (Gautreaux, 2006).

c. Transmission Electron Microscopy (TEM)

Transmission electron microscope (TEM) adalah sebuah instrumen yang dipakai dalam teknik penggambaran dari sebuah struktur, dimana sebuah sinar elektron ditransmisikan menembus spesimen yang sangat tipis. Gambar tersebut diperbesar dan terfokus pada sebuah sensor penangkap gambar. TEM memiliki kemampuan untuk menghasilkan gambar dengan resolusi yang jauh lebih tinggi dari mikroskop cahaya. Ini memungkinkan analisis sebuah struktur secara detail, bahkan meneliti struktur yang

amat kecil seperti sekumpulan atom-atom yang berjajar, yang ukurannya seribu kali lebih kecil dari objek yang dapat diamati pada mikroskop cahaya (Egerton, 2010).

Pada TEM, sampel yang sangat tipis ditembak dengan berkas elektron yang berenergi sangat tinggi (dipercepat dengan tegangan ratusan kV). Berkas elektron dapat menembus bagian lunak pada sampel namun ditahan oleh bagian keras sampel. Detektor yang berada di belakang sampel menangkap berkas elektron yang lolos sari bagian lunak sampel dan menangkap bayangan yang bentuknya sama dengan bentuk bagian keras sampel (Abdullah, 2009).



Gambar II.7 *Transmission electron microscope* (TEM)

Prinsip kerja TEM menyerupai prinsip kerja proyektor film. Sebuah proyektor menghasilkan sebuah sinar cahaya yang menembus bagian sampel tertentu, tembusnya cahaya tersebut dipengaruhi oleh struktur dan objek yang ada pada slide. Efek dari peristiwa ini hanya dihasilkan dari cahaya yang tembus melalui bagian-bagian sampel tersebut. Transmisi cahaya ini lalu diproyeksikan ke layar dan membentuk sebuah hasil berupa gambar (Egerton, 2010).

d. Atomic Absorption Spectroscopy (AAS)

Spektrofotometri Serapan Atom merupakan suatu metode analisis yang didasarkan pada proses penyerapan energi radiasi oleh atom-atom yang berada pada tingkat energi dasar (*ground state*). Penyerapan tersebut menyebabkan tereksitasinya elektron dalam kulit atom ke tingkat energi yang lebih tinggi. Keadaan ini bersifat labil,

elektron akan kembali ke tingkat energi dasar sambil mengeluarkan energi yang berbentuk radiasi. Dalam AAS, atom bebas berinteraksi dengan berbagai bentuk energi seperti energi panas, energi elektromagnetik, energi kimia dan energi listrik. Interaksi ini menimbulkan proses-proses dalam atom bebas yang menghasilkan adsorpsi dan emisi (pancaran) radiasi dan panas. Radiasi yang dipancarkan bersifat khas karena mempunyai panjang gelombang yang karakteristik untuk setiap atom bebas (Basset, 1994).



Gambar II.8 *Atomic Absorption Spectroscopy (AAS)*

Metode AAS berprinsip pada adsorpsi cahaya oleh atom. Atom-atom menyerap cahaya pada panjang gelombang tertentu tergantung pada sifat unsurnya. Cahaya pada panjang gelombang mempunyai cukup energi untuk mengubah tingkat elektronik suatu atom. Absorpsi energi, atom memiliki energi lebih untuk menaikkan energinya dari tingkat dasar ke tingkat eksitasinya dengan tingkat eksitasi yang berbeda pada setiap unsur. Kita dapat memilih di antara panjang gelombang ini yang menghasilkan garis spektrum yang tajam dan dengan intensitas maksimum, garis ini biasa disebut dengan garis resonansi. Spektrum atomik untuk masing-masing unsur terdiri dari garis-garis resonansi. Garis-garis lain yang bukan resonansi dapat berupa spektrum yang berasosiasi dengan tingkat energi molekul, biasanya berupa pita-pita lebar ataupun garis tidak berasal dari eksitasi tingkat dasar yang disebabkan proses atomisasinya (Khopkar, 1990).

BAB III

METODE PENELITIAN

A. Waktu dan Tempat

Penelitian ini dilaksanakan pada bulan Agustus 2016 – Januari 2017 di laboratorium Kimia Fisika Universitas Islam Negeri (UIN) Alauddin Makassar, laboratorium XRD & XRF Science Building Universitas Hasanuddin dan laboratorium Pusat Penelitian Nanoteknologi dan Nanosains (PPNN) Institut Teknologi Bandung.

B. Alat dan Bahan

1. Alat Penelitian

Alat yang digunakan dalam penelitian ini adalah *transmission electron microscopy* (TEM) HT 7700, *x-ray diffraction* (XRD) Shimadzu XRD-7000, XRF tipe *ARL Quant'X* merk *Thermo Scientific*, *Atomic Absorption Spektrofotometer* (AAS) Varian AA240FS, Shaker merk *Thermo Scientific MAXQ 2000*, oven merk *Thermo Scientific*, *power supply* DC 12 dan 15V merk *Phywe*, pH meter, neraca analitik, peralatan gelas, kabel penghubung dan jepit buaya.

2. Bahan Penelitian

Bahan yang digunakan dalam penelitian ini adalah akuades (H_2O), asam klorida (HCl) 10%, asam sulfat (H_2SO_4) 10%, elektroda karbon, besi (II) sulfat (FeSO_4) 100 ppm, kertas saring whatman no.42, batang besi, natrium hidroksida (NaOH) 0,01 M dan n-heksan $\text{CH}_3(\text{CH}_2)_4\text{CH}_3$, tembaga (II) nitrat $\text{Cu}(\text{NO}_3)_2$.

C. Prosedur Penelitian

1. Elektroplating Besi

a. Pembuatan larutan elektrolit

Menimbang padatan $\text{FeSO}_4 \cdot 7\text{H}_2\text{O}$ sebanyak 6.95 gram lalu dilarutkan kedalam 250 mL akuades dan dihomogenkan.

b. Preparasi besi

Merendam besi kedalam larutan NaOH 100 ppm lalu dipanaskan dengan suhu 70°C selama 1 jam, merendam besi kedalam larutan HCL 10% selama 30 menit, merendam besi kedalam larutan n-heksan selama 30 menit, setelah itu mengamplas besi dan merendamnya kembali kedalam larutan H_2SO_4 10% selama 30 menit.

c. Pembuatan elektroda besi dengan teknik elektroplating

Mengisi larutan elektrolit FeSO_4 sebanyak 250 mL kedalam gelas kimia 500 mL. Kemudian menempatkan batang besi yang akan dilapisi sebagai katoda dan elektroda karbon ditempatkan sebagai anoda, lalu diatur jarak antar elektroda 3 cm dan dialiri tegangan sebesar 10 volt dengan arus 1 A selama 5 jam.

2. Sintesis Nanopartikel Magnetit (Fe_3O_4) Secara Elektrolisis

Mengisi air demineralisasi pH 10 sebanyak 250 mL kedalam gelas kimia 500 mL. kemudian menempatkan batang besi hasil elektroplating sebagai anoda dan batang besi komersil sebagai katoda dengan jarak antar elektroda 3 cm, lalu dialirkan arus DC dari *power supply* dengan variasi tegangan 5, 10, dan 15 V selama 24 jam pada suhu 30°C . Pada akhir proses, produk yang dihasilkan berupa endapan hitam Fe_3O_4 . Endapan yang didapat disaring menggunakan kertas saring whatman no.42 dan dikeringkan menggunakan oven pada suhu 80°C hingga kering.

3. Uji Adsorptivitas Logam Tembaga (Cu)

a. Pembuatan larutan induk Cu^{2+} 1000 ppm sebanyak 1000 mL

Menimbang padatan $\text{Cu}(\text{NO}_3)_2$ sebanyak 2,9515 gram, lalu dilarutkan ke dalam labu ukur 1000 mL dengan aquades kemudian dihipitkan sampai tanda batas.

b. Pembuatan larutan baku Cu^{2+} 100 ppm sebanyak 100 mL

Memipet larutan induk Cu^{2+} 1000 ppm sebanyak 10 mL ke dalam labu ukur 100 mL. Kemudian menambahkan aquades ampai tanda batas.

c. Pembuatan larutan uji logam Cu^{2+} 100; 125; 150; 175 dan 200 ppm sebanyak 100 mL

Memipet larutan induk Cu^{2+} 1000 ppm masing-masing sebanyak 10; 12,5; 15; 17,5 dan 20 mL ke dalam labu ukur 100 mL. Kemudian menambahkan aquades sampai tanda batas.

d. Pembuatan larutan standar Cu^{2+} 0; 0,5; 1; 2; 4 dan 8 ppm sebanyak 100 mL

Pembuatan larutan standar dilakukan dengan cara memipet larutan baku Cu^{2+} 100 ppm masing-masing sebanyak 0,5 mL, 1 mL, 2 mL, 4 mL dan 5 mL ke dalam labu takar 100 mL. Kemudian menambahkan aquades sampai tanda batas.

e. Penentuan persentase logam tembaga (Cu) teradsorpsi terhadap variasi waktu kontak

Menimbang nanopartikel magnetit (Fe_3O_4) sebanyak 0,125 gram kedalam 5 erlenmayer 100 mL, lalu menambahkan masing-masing 25 mL larutan uji Cu^{2+} 150 ppm pada keadaan pH 12. Kemudian campuran dikocok dengan *shaker* pada kecepatan 150 rpm masing-masing selama 60, 120, 180, 240 dan 300 menit. Selanjutnya supernatan ditentukan kadar tembaga (Cu) dengan menggunakan *Atomic Absorption Spectrophotometer (AAS)* pada $\lambda = 324,8$ nm.

f. Penentuan persentase logam tembaga (Cu) teradsorpsi terhadap variasi volume larutan uji

Menimbang nanopartikel magnetit (Fe_3O_4) sebanyak 0,125 gram kedalam 5 erlenmayer, lalu menambahkan 25 mL larutan uji Cu^{2+} pH 12 masing-masing 100, 125, 150, 175 dan 200 ppm. Kemudian campuran dikocok dengan *shaker* pada kecepatan 150 rpm dengan waktu kontak optimum. Selanjutnya supernatan ditentukan kadar tembaga (Cu) dengan menggunakan *Atomic Absorption Spectrophotometer* (AAS) pada $\lambda = 324,8$ nm.

BAB IV HASIL DAN PEMBAHASAN

A. Hasil Penelitian

Penelitian ini dilakukan melalui tiga tahap yaitu sintesis nanopartikel magnetit (Fe_3O_4) dengan secara elektrolisis, karakteristik nanopartikel magnetit dan uji adsorptivitas nanopartikel magnetit dalam menyerap ion logam besi (Fe). Adapun hasil penelitian, sebagai berikut :

1. Sintesis Nanopartikel Magnetit (Fe_3O_4) Secara Elektrolisis

a. Elektroplating Besi

Berdasarkan hasil analisis XRF pada batangan besi yang digunakan pada proses elektroplating mengandung kadar besi sebesar 61.73%.

Tabel IV.1. Bobot hasil elektroplating batang besi

No.	Tegangan (Volt)	Rapat arus (A)	Bobot batang besi (gram)		Keterangan
			Sebelum elektroplating	Sesudah elektroplating	
1.	10	1	1,6547	1,8215	Untuk sintesis tegangan 5 volt
2.	10	1	1,6111	1,7016	Untuk sintesis tegangan 10 volt
3.	10	1	0,8213	1,2893	Untuk sintesis tegangan 15 volt

Pada tabel di atas, menunjukkan peningkatan bobot pada batang besi yang telah dielektroplating. Peningkatan bobot ini menyatakan bahwa proses elektroplating berhasil.

b. Pengaruh Variasi Tegangan Terhadap Sintesis Nanopartikel Magnetit

Tabel IV.2. Pengaruh tegangan terhadap sintesis nanopartikel magnetit

No.	Tegangan (Volt)	Rapat Arus (mA)	Warna endapan
1.	5	2,44	Coklat bata
2.	10	6,26	Hitam
3.	15	6,53	Hitam

Pada tabel di atas menunjukkan perubahan warna endapan menjadi lebih hitam seiring dengan bertambahnya tegangan yang diberikan pada proses sintesis.

2. Karakteristik Nanopartikel Magnetit

a. Data Analisis XRD

Tabel IV.3. Hasil analisis XRD nanopartikel magnetit dengan tegangan 10 volt

No	Jenis Mineral	Kadar (%)	Rumus Molekul	Bentuk Kristal
1.	Ghoetit	63.0	FeOOH	Orthorombik
2.	Magnetit	21.5	Fe ₃ O ₄	Kubik
3.	Amakinit	15.5	Fe(OH) ₂	Trigonal (hexagonal axes)

Pada tabel di atas menunjukkan mineral magnetit yang terdapat dari hasil sintesis dengan tegangan 10 volt mengandung kadar 21.5%. Hasil ini berdasarkan difraktogram XRD yang dapat dilihat pada lampiran 4 (c).

Tabel IV.4. Hasil analisis XRD nanopartikel magnetit dengan tegangan 15 volt

No	Jenis mineral	Kadar (%)	Rumus molekul	Bentuk Kristal
1.	Magnetit	100%	Fe ₃ O ₄	Kubik

Pada tabel, menunjukkan mineral magnetit yang terdapat dari hasil sintesis dengan tegangan 15 volt mengandung kadar 100%. Hasil ini berdasarkan difraktogram XRD yang dapat dilihat pada lampiran 4 (d).

Tabel IV.5. Diameter partikel pada variasi tegangan

No.	Tegangan (Volt)	Diameter (nm)
1.	5	-
2.	10	35,24
3.	15	37,79

Pada tabel di atas, menjelaskan bagaimana pengaruh tegangan yang diberikan terhadap diameter partikel yang dihasilkan. Analisa pengukuran tersebut didapatkan dari persamaan *Scherrer* yang berdasarkan analisa difraktogram XRD. Perhitungan pengukuran diameter partikel dapat dilihat pada lampiran 5 dan 6.

b. Analisis TEM

Tabel IV.6. Hasil analisis TEM nanopartikel magnetit pada variasi tegangan

No.	Tegangan (Volt)	Bentuk permukaan	Keterangan
1.	5	Tidak nampak secara spesifik	Masih teraglomerasi pada pembesaran 100 nm
2.	10	Sferik (bola)	Masih teraglomerasi pada pembesaran 50 nm
3.	15	Sferik (bola)	Tidak teraglomerasi dan kisi partikel jelas pada pembesaran 50 nm

Pada tabel di atas, menjelaskan bagaimana bentuk morfologi dari nanopartikel magnetit hasil sintesis terhadap variasi tegangan, yang diamati berdasarkan

pembesaran dengan skala hingga 50 nm. Pola yang digambarkan dari hasil TEM dapat dilihat pada lampiran 7.

3. Adsorptivitas Nanopartikel Magnetit Terhadap Ion Logam Cu

Uji adsorptivitas dilakukan untuk mengetahui kemampuan nanopartikel dalam menyerap logam berat, dalam hal ini logam tembaga (Cu). Variasi yang digunakan yaitu, variasi waktu kontak dan konsentrasi larutan uji.

a. Persentase penyerapan ion logam Cu terhadap variasi waktu kontak

Tabel IV.7. Adsorptivitas nanopartikel magnetit terhadap logam tembaga (Cu) pada variasi waktu kontak

Waktu kontak (jam)	Konsentrasi (ppm)			Kapasitas adsorpsi (mg/g)	Efisiensi penyerapan (%)
	[Cu] awal	[Cu] sisa	[Cu] teradsorpsi		
1	150	0.037143	149.9143	29.9828	99.94
2	150	0.085714	149.8657	29.9731	99.91
3	150	0.134286	149.8943	29.9788	99.92
4	150	0.105714	149.8857	29.9771	99.92
5	150	0.197143	149.8029	29.9605	99.86

Persentase adsorpsi nanopartikel dengan variasi waktu kontak terhadap logam tembaga yang tercentum pada tabel IV.7 menunjukkan bahwa nanopartikel magnetit mampu mengadsorpsi logam Cu dengan tingkat efisiensi tertinggi 99.94% terlihat pada waktu kontak 1 pada konsentrasi larutan uji 150 ppm sebanyak 25 mL dengan massa nanopartikel 0,125 gram.

b. Persentase penyerapan ion logam Cu terhadap variasi konsentrasi

Tabel IV.8. Adsorptivitas nanopartikel magnetit terhadap logam tembaga (Cu) terhadap variasi konsentrasi

Waktu kontak (jam)	Konsentrasi (ppm)			Kapasitas adsorpsi (mg/g)	Efisiensi penyerapan (%)
	[Cu] awal	[Cu] sisa	[Cu] teradsorpsi		
1	100	0.031429	99.9657	19.9928	99.96
1	125	0.057125	124.9457	24.9888	99.95
1	150	0.077100	149.9257	29.9851	99.95
1	175	0.172025	174.8286	34.9657	99.90
1	200	0.322857	199.6771	39.9354	99.83

Persentase adsorpsi nanopartikel dengan variasi waktu terhadap logam tembaga yang tercentum pada tabel IV.8 menunjukkan bahwa nanopartikel magnetit mampu mengadsorpsi logam Cu dengan tingkat efisiensi tertinggi 99.96% terlihat pada waktu kontak 1 jam pada konsentrasi larutan uji 100 ppm sebanyak 25 mL dengan massa nanopartikel 0,125 gram.

B. Pembahasan

1. Sintesis Nanopartikel Magnetit (Fe_3O_4) Secara Elektrolisis

a. Elektroplating Besi

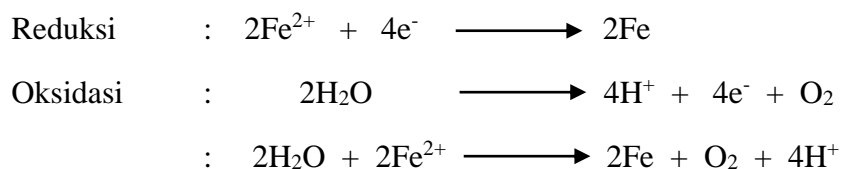
Elektroplating merupakan proses pelapisan logam dengan teknik elektrolisis, dimana proses ini melibatkan elektroda (katoda dan anoda), elektrolit dan sumber listrik. Logam yang akan dilapisi terlebih dahulu melalui suatu proses pembersihan permukaan, modifikasi permukaan dan pembilasan untuk menghasilkan hasil plating yang maksimal. Batang besi yang digunakan pada penelitian ini berukuran diameter 3,5 mm dan panjang 6 cm dengan kandungan besi 61,73%.

Proses persiapan permukaan dilakukan secara mekanik dan kimia yang melewati beberapa tahapan antara lain: Pembersihan secara mekanik yang bertujuan untuk menghaluskan permukaan besi yang akan dilapisi dengan menggunakan amplas sampai permukaan besi halus. Menurut (Mustopo, 2011) proses ini dilakukan guna mendapatkan permukaan bahan yang bebas dari goresan dan geram-geram yang melekat dan membebaskan permukaan dari pengotor yang dapat mengganggu proses elektroplating. Proses ini menjadi proses awal yang penting untuk mendapatkan hasil plating yang baik.

Pembersihan secara kimia dilakukan dengan cara perendaman dalam larutan basa, asam, dan pelarut organik. Besi yang telah diampas pada tahapan ini direndam dalam larutan NaOH 100 ppm dengan suhu 70°C selama 60 menit, larutan ini bertindak sebagai pembersih logam untuk membersihkan kotoran, minyak, cat ataupun lemak pada permukaan logam yang ingin di lapisi. Tahap selanjutnya besi direndam dalam larutan pembersihan HCl 10% selama 30 menit untuk menghilangkan koral pada permukaan logam. Selanjutnya besi direndam dalam pelarut n-heksan selama 30 menit. Proses ini dilakukan untuk menghilangkan kontaminan yang terdiri dari minyak dan grease dari berbagai jenis lilin dan bahan organik lain. Setelah perendaman besi kembali di amplas untuk menghilangkan sisa-sisa n-heksan dan karat yang menempel pada besi. Tahap terakhir besi direndam kembali dalam larutan H₂SO₄ 10% selama 30 menit untuk membuka pori-pori pada permukaan logam. Proses ini bertujuan untuk mempercepat proses pelapisan pada logam (Riyanto, 2013).

Pembuatan elektroda besi dilakukan dengan metode elektroplating menggunakan tegangan 10 volt dengan kuat arus 1A selama 5 jam dengan jarak elektroda 3cm. Elektroda yang digunakan yaitu batang besi yang telah diaktivasi pada katoda dan elektroda karbon pada anoda. Elektroda karbon merupakan elektroda inert

yang tidak ikut bereaksi melainkan hanya sebagai penghantar arus listrik (Riyanto, 2013) sehingga dalam rangkaian yang mengalami reaksi redoks adalah pelarut dalam hal ini adalah air. Pada proses ini menggunakan larutan $\text{FeSO}_4 \cdot 7\text{H}_2\text{O}$ sebagai larutan elektrolit. Larutan ini termasuk sebagai elektrolit kuat, dimana zat terlarutnya dapat terionisasi secara sempurna membentuk ion-ion pembentuknya sehingga dapat menghantarkan listrik dengan baik. Reaksi yang terjadi pada proses elektroplating adalah sebagai berikut:



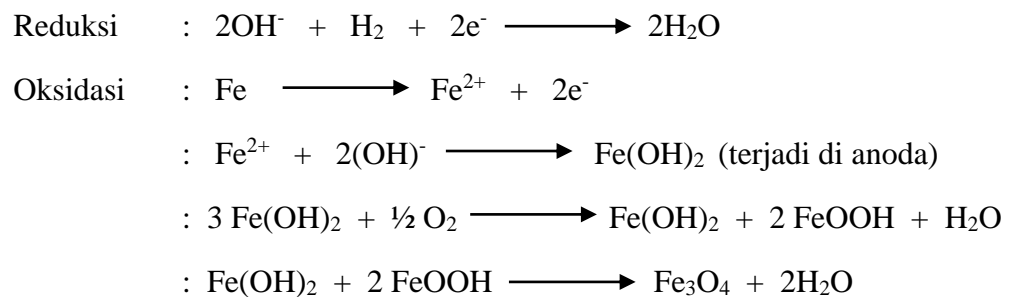
Hasil dari tahap elektroplating ini berupa batangan besi yang terlapis oleh besi murni. Hal ini dilihat dari pengamatan fisik besi yang semakin membesar dan bertambahnya bobot besi setelah elektroplating.

b. Pengaruh Tegangan Terhadap Sintesis Nanopartikel Fe_3O_4

Sintesis nanopartikel Fe_3O_4 berlangsung dalam sel elektrolisis, dalam hal ini besi hasil elektroplating digunakan sebagai anoda, batangan besi baru yang sudah diaktivasi sebagai katoda dan air demineralisasi pH 10 sebagai elektrolit. Penggunaan larutan basa sebagai elektrolit didasarkan pada penelitian yang dilakukan (Setiawati, 2015) yang menyatakan larutan yang bersifat basa akan menyumbangkan ion OH^- lebih banyak dan akan bereaksi dengan baik untuk membentuk Fe_3O_4 . Dimana jika dilihat dari reaksi pembentukan Fe_3O_4 ion OH^- merupakan bahan yang akan bereaksi dengan ion Fe^{2+} untuk membentuk $\text{Fe}(\text{OH})_2$. Proses ini menggunakan variasi tegangan 5; 10 dan 15 volt pada arus tetap 1A selama 24 jam dengan suhu 30°C . Variasi tegangan berpengaruh terhadap sifat fisik dan ukuran produk yang dihasilkan. Pada tegangan 5 volt produk yang dihasilkan berwarna coklat bata, sedangkan pada

tegangan 10 dan 15 volt produk yang dihasilkan berwarna hitam. Hal ini sesuai dengan penelitian yang telah dilakukan (Fajaroh, dkk, 2010), analisa fisik nanopartikel Fe₃O₄ memiliki wujud kristal berwarna hitam pekat, sedangkan endapan cokelat bata diindikasikan sebagai FeOOH.

Perbedaan warna endapan pada tegangan 5 volt disebabkan karena tegangan yang digunakan tidak mencukupi untuk mencapai reaksi pembentukan Fe₃O₄. Arus yang kecil menyebabkan reaksi redoks pada elektroda lambat terjadi dan gas O₂ yang dihasilkan pada anoda sedikit, hal ini juga mengakibatkan difusi ion OH⁻ menuju anoda untuk membentuk Fe(OH)₂ dan FeOOH tidak maksimal. Hal ini akan mempengaruhi pembentukan Fe₃O₄, karena kedua senyawa tersebut merupakan senyawa pembentuk Fe₃O₄. Mekanisme Pembentukan Fe₃O₄ dapat dijelaskan dengan reaksi sebagai berikut:



Berdasarkan Penelitian (Juarnita, dkk, 2010) yang menjelaskan secara terperinci mekanisme pembentukan nanopartikel Fe₃O₄. Pada anoda, elektroda besi mengalami reaksi oksidasi menjadi ion Fe²⁺ dan melepaskan elektron, reaksi ini diikuti dengan teroksidasinya air dari permukaan anoda menjadi gas O₂ dan ion OH⁻ serta melepaskan elektron. Gas O₂ dapat diidentifikasi dengan adanya gelembung-gelembung kecil pada permukaan anoda. Sedangkan pada katoda mengalami reaksi reduksi H₂O menjadi ion OH⁻ dan gas H₂. Terbentuknya gas H₂ juga dapat diidentifikasi dengan munculnya gelembung-gelembung, tetapi pada hal ini

gelembung-gelembung H_2 lebih tampak daripada gelembung-gelembung O_2 , karena gas H_2 tidak bereaksi lebih lanjut sehingga masih dapat dijumpai pada akhir sintesis. Ion OH^- yang terbentuk di katoda akan berdifusi menuju anoda dan bereaksi dengan ion Fe^{2+} membentuk $Fe(OH)_2$, reaksi ini terjadi disekitar anoda. Hal ini dikarenakan mobilitas OH^- lebih cepat dari pada Fe^{2+} . Sumber O_2 selain dari hasil reaksi oksidasi yang terjadi di sekitar anoda juga berasal dari oksigen terlarut dalam elektrolit. Selanjutnya $FeOOH$ dan $Fe(OH)_2$ akan bereaksi membentuk Fe_3O_4 .

2. Karakteristik Nanopartikel Magnetit (Fe_3O_4)

a. Analisis XRD

Serbuk magnetit hasil sintesis selanjutnya di analisis menggunakan difraksi sinar-X (shimadzu XRD-7000). Hasil dari analisis ini berupa pola-pola difraksi partikel yang akan di sesuaikan dengan pola difraksi pada *database Joint Committee on Powder Diffraction Standard* (JCPDS). Hasil analisis Fe_3O_4 menggunakan XRD dapat dilihat pada lampiran 4.

Hasil analisis XRD menunjukkan pola difraksi yang sesuai dengan pola difraksi Fe_3O_4 pada JPDS 19-0629. Variasi tegangan menunjukkan pola difraksi yang berbeda seiring meningkatnya tegangan yang mempengaruhi ketajaman puncak yang dihasilkan.

Difraktogram pada tegangan 5 volt menunjukkan puncak-puncak difraksi Fe_3O_4 akan tetapi tidak terbaca oleh software match, namun jika dilihat dari difraktogram 5 volt yang dibandingkan dengan difraktogram 10 dan 15 volt menunjukan kecocokan peak dengan posisi yang sama. Sehingga dapat diidentifikasi bahwa senyawa Fe_3O_4 sebenarnya terbentuk tetapi intensitasnya sangat minim.

Difraktogram pada tegangan 10 volt menunjukkan puncak peak Fe_3O_4 yang sesuai dengan pola difraksi JPDS 19-0629 dengan kadar 21.5% dengan puncak utama terlihat pada sudut 35.38° dan indeks Miller 131 yang menunjukkan bentuk kristalin kubik (FCC), hasil ini mendekati dengan hasil penelitian (Puspasari, 2011) yang menghasilkan puncak difraksi pada sudut 35.42 hingga 62.51 . Hal ini juga diperkuat dengan munculnya puncak-puncak pendukung pada sudut 47.18° ; 56.78° ; 62.61° dengan indeks Miller masing-masing 010; 151; 404 yang identik dengan pola difraksi Fe_3O_4 . Namun masih ditemukan pola difraksi senyawa oksida besi FeOOH , hal ini disebabkan karena ion OH^- hasil reaksi di katoda tidak semua dapat berdifusi ke anoda dan bereaksi dengan Fe^{2+} membentuk $\text{Fe}(\text{OH})_2$, ini menyebabkan $\text{Fe}(\text{OH})_2$ yang terbentuk sedikit dan menyebabkan FeOOH yang telah terbentuk tidak semua bisa bereaksi dengan $\text{Fe}(\text{OH})_2$ untuk membentuk Fe_3O_4 . Sehingga pada produk akhir masih terdapat FeOOH seperti yang diperlihatkan pada puncak difraksi yang sesuai dengan pola standar JCPDS 44-1415 yang merupakan senyawa dominan dengan kadar 63%. selain FeOOH , pola difraksi $\text{Fe}(\text{OH})_2$ juga muncul dengan kadar 15.5%.

Difraktogram pada tegangan 15 volt menunjukkan puncak peak Fe_3O_4 yang sesuai dengan pola difraksi JPDS 19-0629 dengan kadar 100% dengan puncak utama terlihat pada sudut 35.33° dan indeks Miller 131 yang menunjukkan bentuk kristalin kubik (FCC), hal ini juga diperkuat dengan munculnya puncak-puncak pendukung pada sudut 29.97° ; 56.84° ; 62.47° dengan indeks Miller masing-masing 202; 151; 404 yang identik dengan pola difraksi Fe_3O_4 . Persentase kadar Fe_3O_4 yang mencapai 100% ini dapat diketahui reaksi pembentukan Fe_3O_4 telah mencapai titik maksimal.

Penentuan diameter partikel dapat dilihat pada lampiran 5. Analisis ini berdasar pada data difraktogram hasil analisis XRD dengan mengacu pada hukum Bragg menggunakan persamaan Scherrer. Berdasarkan hasil perhitungan didapatkan

diameter partikel rata-rata pada tegangan 10 volt dan 15 volt masing-masing 35.24 nm dan 37.79 nm. Data diatas sesuai dengan penelitian (Fajaroh, 2010) bahwa kenaikan tegangan pada proses sintesis berpengaruh pada kenaikan ukuran diameter partikel. Hal ini disebabkan karena tegangan yang besar akan meningkatkan laju reaksi, sehingga pembentukan nukleasi Fe_3O_4 terjadi semakin cepat dan meningkatkan ukuran partikel produk yang dihasilkan.

b. Analisis TEM

Serbuk magnetit hasil sintesis dianalisis dengan mikroskop transmisi elektron (HT 7700). Hasil dari analisis ini berupa gambar yang akan memperlihatkan morfologi sampel. Hasil analisis Fe_3O_4 menggunakan TEM dapat dilihat pada lampiran 7.

Nanopartikel hasil sintesis dengan tegangan 5 volt dengan perbesaran 1 μm menunjukkan morfologi Fe_3O_4 yang tidak jelas. Pada perbesaran maksimum 100 nm, gambar menunjukkan permukaan partikel yang lebih jelas namun tetap tidak memberikan bentuk morfologi yang spesifik. Hal ini indikasi karena permukaan partikel yang tidak merata dan terjadi aglomerasi. Pada sampel ini tidak menunjukkan adanya morfologi dari Fe_3O_4 . Hasil ini sesuai dengan hasil yang didapatkan pada analisa XRD.

Nanopartikel hasil sintesis dengan tegangan 10 volt dengan perbesaran 200 nm menunjukkan morfologi Fe_3O_4 terdistribusi secara umum pada permukaan partikel. Sedangkan pada perbesaran maksimum 50 nm cukup jelas terlihat morfologi permukaan partikel sampel yang berbentuk bola, namun keadaan sampel masih teraglomerasi. Hal ini ditunjukkan dari gambar yang masih terlihat bayangan hitam yang tidak merata. Pada keadaan ini kisi antar partikel juga tidak terlihat jelas dan distribusi partikel pada sampel yang dihasilkan tidak merata, ini menunjukkan sampel tidak hanya terdiri dari satu senyawa.

Nanopartikel hasil sintesis dengan tegangan 15 volt dengan perbesaran 200 nm menunjukkan morfologi partikel Fe_3O_4 sudah terlihat jelas dengan permukaan partikel sampel berbentuk bola. Pada keadaan ini tidak lagi didapatkan sampel yang teraglomerasi. Hasil penelitian ini sesuai dengan penelitian (Sartika, 2014) dan (Fajaroh, 2010) yang mendapatkan hasil morfologi kristal nanopartikel Fe_3O_4 berbentuk bola. Pada perbesaran maksimum 50 nm terlihat distribusi partikel yang merata dengan kisi antar partikel yang terlihat jelas. Hal ini menjelaskan bahwa kristal yang terbentuk dari partikel tersebut lebih maksimal. Namun, jika ditinjau dari distribusi ukuran partikel dengan perbesaran yang sama. Ukuran kristal Fe_3O_4 yang disintesis dengan tegangan 15 volt memiliki ukuran partikel yang lebih besar dari partikel Fe_3O_4 yang disintesis dengan tegangan 10 volt. Hasil analisa ini sesuai dengan data yang didapat dari hasil perhitungan ukuran partikel dengan menggunakan persamaan Scheerer.

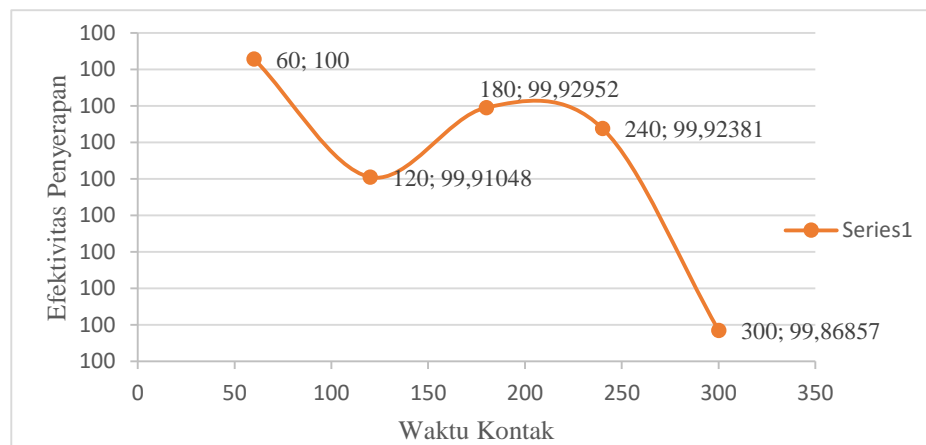
3. Adsorptivitas Nanopartikel Magnetit (Fe_3O_4) Terhadap Ion Logam Tembaga (Cu)

Adsorptivitas nanopartikel Fe_3O_4 terhadap Ion logam Cu dilakukan untuk menentukan waktu kontak dan konsentrasi optimum pada penyerapannya terhadap ion logam tembaga (Cu). Berdasarkan penelitian (Maylani, 2015) keelektronegatifan atom O lebih besar dibandingkan atom Fe, sehingga kemampuannya untuk menarik elektron-elektron lebih besar dibandingkan atom Fe. Hal ini memungkinkan atom-atom O di permukaan magnetit berpotensi untuk mengadsorpsi ion logam tembaga (Cu) dalam air. Larutan uji $\text{Cu}(\text{NO}_3)_2$ dibuat sebanyak 25 mL dan massa nanopartikel Fe_3O_4 0,125 gram dengan optimasi pH larutan di lakukan berdasarkan penelitian (Mahmuda,2014) yang menyatakan persentase penyerapan ion logam Cu meningkat

seiring meningkatnya pH larutan. Hal ini mengacu pada nilai *pH at the Point of Zero* (pHpzc) Fe_3O_4 yang bernilai 6,3. pHpzc merupakan pH ketika permukaan adsorben bermuatan netral. pH larutan uji dibuat diatas dari pHpzc agar permukaan nanopartikel Fe_3O_4 bermuatan negatif dan dapat mengadsorpsi ion logam Cu yang bermuatan positif (Cu^{2+}).

a. Persentase Penyerapan Ion Logam Cu Terhadap Variasi Waktu Kontak

Penentuan waktu kontak optimum dilakukan untuk mengetahui batas kemampuan nanopartikel Fe_3O_4 dalam menyerap ion logam Cu pada variasi waktu kontak masing-masing 60; 120; 180; 240; 300 menit.



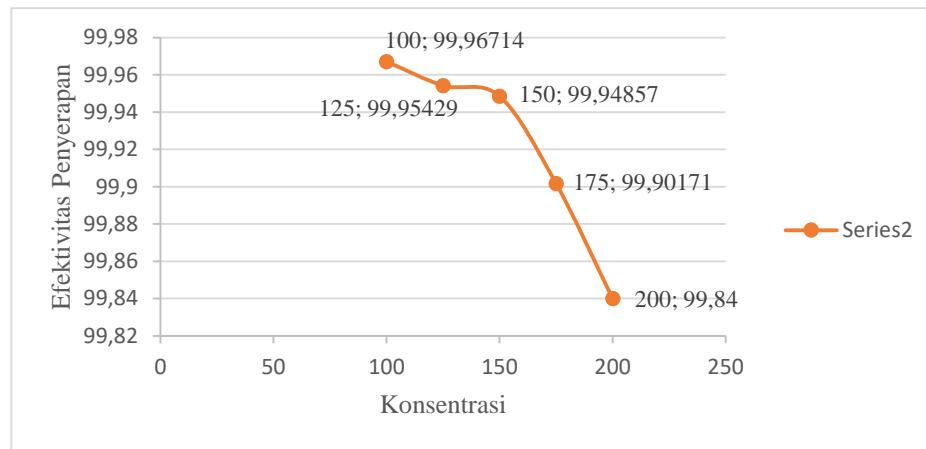
Gambar IV.7 Grafik hubungan antara waktu kontak dan efektivitas penyerapan

Berdasarkan gambar IV.7 dapat dilihat waktu kontak optimum terjadi pada waktu kontak 60 menit dengan efektivitas adsorpsi 99.96%. Efektivitas adsorpsi yang tinggi dapat ditinjau dari sifat adsorben, dimana adsorben yang berukuran nanometer memiliki luas permukaan yang besar dan dapat mengadsorpsi ion logam lebih banyak, hal ini sesuai dengan penelitian (Setiawati, dkk, 2015) yang menyatakan luas permukaan kontak adsorben berbanding lurus dengan daya serap adsorben. Hal ini memberikan kesempatan kontak yang lebih besar antara adsorben dan adsorbat sehingga meningkatkan persentase efektivitas penyerapannya.

Pada waktu kontak 120 menit terjadi penurunan menjadi 99,91%, penurunan adsorpsi logam Cu pada 120 menit diindikasikan penyerapan logam Cu mengalami desorpsi atau terlepas kembali, hal ini sesuai dengan penelitian (Nurdila, 2015) yang menyatakan bahwa daya serap Fe_3O_4 terhadap ion logam Cu pada waktu tertentu akan mengalami desorpsi yang disebabkan oleh lemahnya interaksi yang terjadi antara ion logam Cu dengan adsorben, hal ini biasa terjadi pada proses adsorpsi fisika dikarenakan ion logam hanya menempel pada permukaan adsorben. Namun pada waktu kontak 180 menit adsorpsi naik kembali menjadi 99,92%, hal ini diindikasikan karena pengadukan yang terus menerus mengakibatkan meningkatnya reaktivitas ion dan waktu kontak dengan adsorben semakin lama memberikan kesempatan lebih banyak terbentuk ikatan Cu dengan adsorben. Penurunan adsorpsi kembali terjadi pada waktu kontak 240 menit menjadi 99,92% dan terus turun pada waktu kontak 300 menit menjadi 99,86% diindikasikan waktu kontak yang terus-menerus mengakibatkan larutan sampel menjadi jenuh hal ini sesuai dengan penelitian (Fajrianti, 2016) yang menyatakan bahwa adsorben dan adsorbat yang sudah mencapai kesetimbangan akan menurunkan laju adsorpsi terhadap ion. Selain itu, waktu kontak terus-menerus akan menurunkan reaktivitas ion. Pada keadaan ini interaksi antara logam Cu dan Fe_3O_4 akan menurun dan menyebabkan terlepasnya ion logam Cu.

b. Penentuan Penyerapan Ion Logam Cu Terhadap Variasi Konsentrasi

Penentuan konsentrasi optimum dilakukan untuk mengetahui batas kemampuan nanopartikel Fe_3O_4 dalam menyerap ion logam Cu dengan variasi konsentrasi 100; 125; 150; 175 dan 200 ppm pada waktu kontak 60 menit.



Gambar IV.8. Grafik hubungan antara konsentrasi dan efektivitas penyerapan

Berdasarkan gambar IV.8 dapat dilihat penurunan persentase efektivitas adsorpsi seiring bertambahnya konsentrasi. Konsentrasi optimum didapatkan pada konsentrasi 100 ppm dengan efektivitas adsorpsi 99,96%. Kondisi optimum ini tidak lepas dari pengaruh konsentrasi larutan uji, dimana peningkatan konsentrasi akan meningkatkan ion-ion terlarut. Hal ini sesuai dengan penelitian (Kusmaya dan Muhammad, 2012) proses adsorpsi dipengaruhi oleh konsentrasi adsorbat. Selain itu, dalam larutan yang relatif lebih encer jarak antar molekul dalam adsorbat berjauhan sehingga interaksi antar molekul adsorbat lebih kecil. Dengan demikian gangguan ikatan antar molekul adsorbat yang telah berikatan dengan adsorben lebih sedikit. Pada keadaan ini interaksi antara adsorben dan adsorbat menjadi efektif, sehingga ion logam terlarut hampir semua dapat ditarik oleh adsorben.

Grafik diatas menunjukkan hubungan terbalik antara adsorpsi dengan konsentrasi, hal ini ditunjukkan dengan penurunan efektivitas adsorpsi menjadi 99,95% pada konsentrasi 125 ppm dan terus turun menjadi 99,84% pada konsentrasi 200 ppm. Dari hasil diatas dapat dilihat meningkatnya konsentrasi larutan uji diikuti oleh penurunan efektivitas ion Cu(II) teradsorpsi. Hal ini dijelaskan (Susilowati 2013) magnetit sebagai adsorben mempunyai jumlah situs aktif yang terbatas sehingga daya

adsorpsi nanopartikel magnetit terhadap ion Cu(II) sudah mencapai kejenuhan dan terjadi desorpsi sehingga persentase teradsorpsi akan menurun. Berdasarkan hal tersebut dapat dilihat daya serap adsorben dipengaruhi oleh konsentrasi larutan dan situs aktif pada adsorben. ketika sisi aktif adsorben seimbang dengan ion logam maka efisiensi penyerapan juga akan menurun.

BAB V

PENUTUP

A. Kesimpulan

Berdasarkan hasil penelitian dapat disimpulkan:

1. Karakteristik nanopartikel Fe_3O_4 hasil sintesis dengan metode elektrolisis menghasilkan nanopartikel dengan ukuran diameter rata-rata optimum 35.24 nm dan indeks Miller puncak utama 131 pada sintesis dengan tegangan 10 volt, dan morfologi kristal dengan bentuk kubik (FCC) dengan bentuk permukaan bola.
2. Adsorptivitas nanopartikel Fe_3O_4 mencapai titik optimum pada waktu kontak 60 menit dengan konsentrasi larutan uji 100 ppm, dengan efisiensi penyerapan sebesar 99,96%.

B. Saran

Dengan adanya beberapa keterbatasan dalam penelitian ini, diharapkan pada penelitian selanjutnya dapat melakukan modifikasi larutan elektrolit pada sintesis nanopartikel Fe_3O_4 agar produk yang dihasilkan lebih banyak dan tidak mudah teroksidasi.

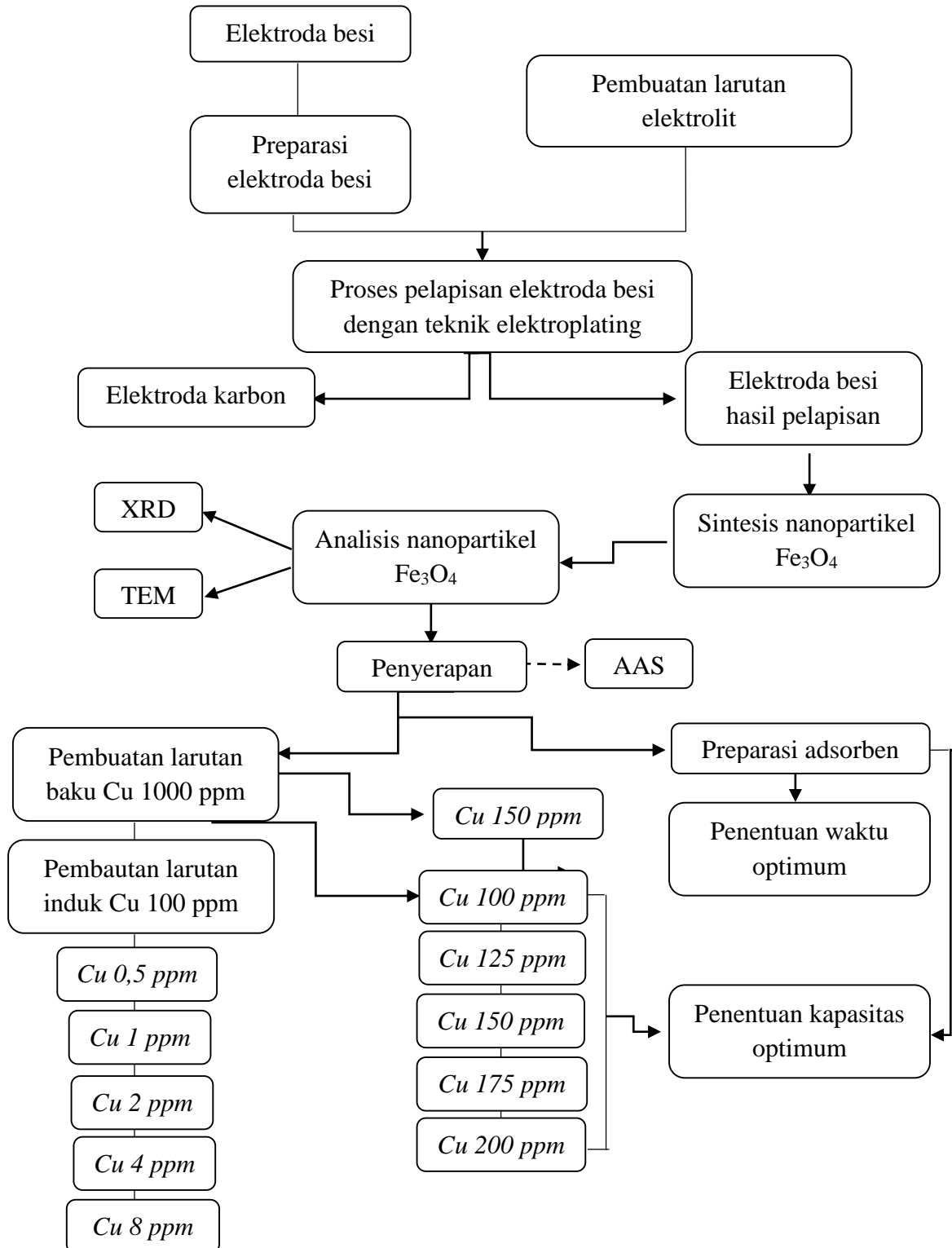
DAFTAR PUSTAKA

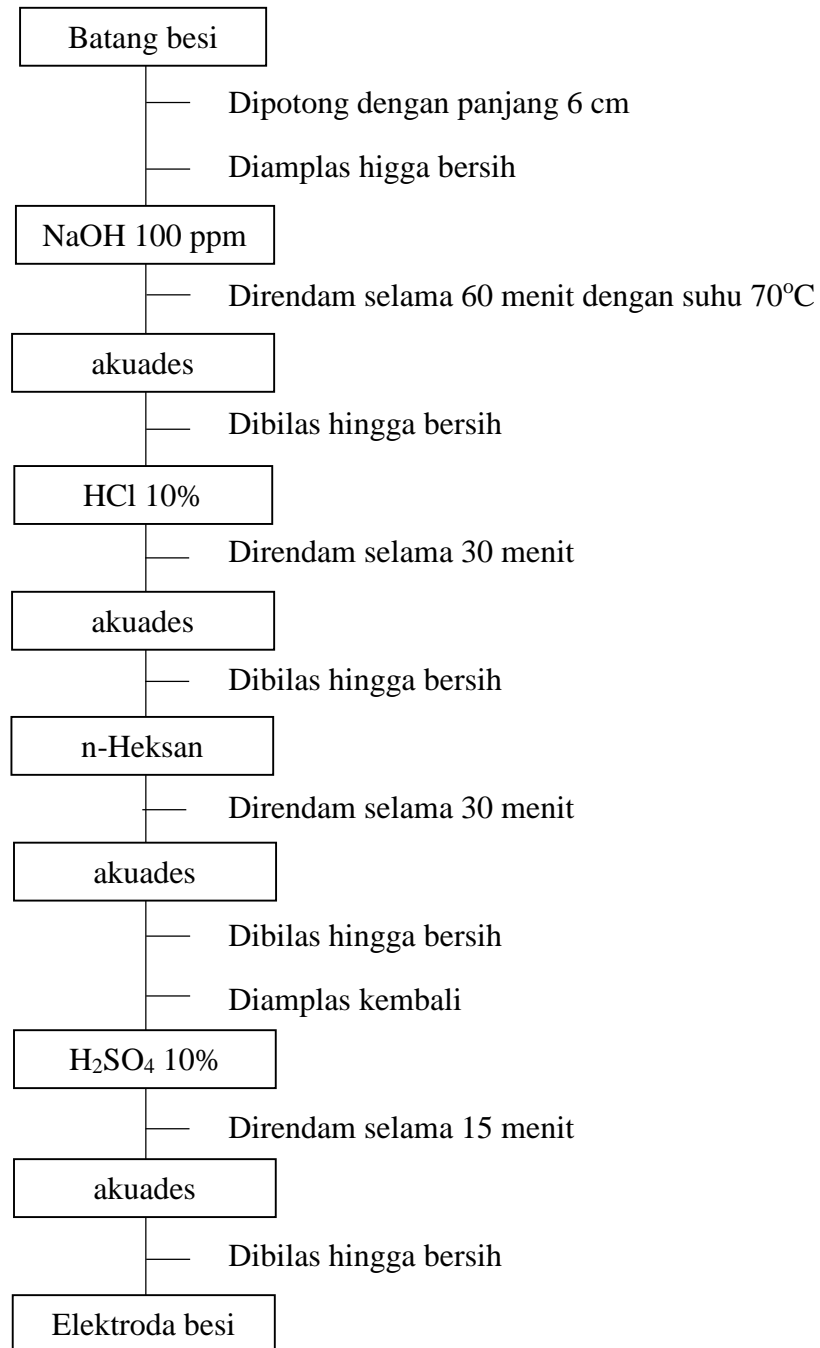
- Al-Qur'an Al-Karim. Kementerian Agama RI, 2015.
- Abdullah, Mikrajuddin dan Khairurrijal. Review: Karakteristik Nanomaterial. *Jurnal Nanosains Dan Nanoteknologi* (2009).
- Abdullah, Mikrajuddin, dkk. Review: Sintesis Nanomaterial. *Jurnal Nanosains Dan Teknologi* (2008).
- Afandi S, Mujamilah, Kurniati M dan Sudaryanto. Efek Kondisi Pembasahan dalam Pembentukan Nanosfer berbasis Oksida Besi dan PLA. *Jurnal Sains Materi Indonesia, Edisi Khusus* (2007).
- Alloway, B.J Ana Ayres, D.C. *Chemical Principles Of Environmental Pollution*. London: Blackie Academic Ana Profesional, an Imprint Of Chapman & Hall, 1997.
- Asmadi dan Suharno. *Dasar –Dasar Teknologi Pengolahan Air Limbah*. Yogyakarta: Gosyen Publishing, 2012.
- Atkins, P.W. *Kimia Fisika. Jilid 2. Edisi Keempat*. Jakarta: Erlangga, 1997.
- Basset, J, dkk. *Vogel's Textbook Of Quantitative Inorganic Analysis Including*, terj. A. Handayana P dan L. Setiono, Buku ajar Vogel: Kimia Kuantitatif Anorganik. Jakarta: EGC, 1994.
- Budiyono dan Siswo Sumardiono. *Teknik Pengolahan Air*. Yogyakarta: Graha Ilmu, 2013.
- Dogra, S.K. *Physical Chemistry Through Problems*, terj. Umar Mansyur. Kimia Fisik dan Soal-soal. Jakarta: UI-Press, 2013.
- Egerton, R.F. *Physical Principles of Electron Microscopy: An Introduction do TEM, SEM Ana AEM*. Springer Science + Business: New York, 2010.
- Fajaroh, Fauziahtul, dkk. Stabilitas Nanopartikel Magnetite Hasil Sintesis Dengan Metode Elektrokimia Melalui Pelapisan Silika Secara In-situ. *Jurnal Rekayasa Kimia dan Proses* (2010).
- Fajrianti, Hana, Wiharyanto Oktawan dan Irawan Wisnu Wardhana. Pengaruh Waktu Perendaman Dalam Aktivator NaOH dan Debit Aliran Terhadap Penurunan Krom Total (Cr) dan Seng (Zn) Pada Limbah Cair Industri Elektroplating Dengan Menggunakan Arang Aktif Dari Kulit Pisang. *Jurnal Teknik Lingkungan* (2016).
- Gautrean, Ronald dan William Savin. *Modern Physics*, terj. Soni Astranto, Fisika Modern. Jakarta: Erlangga, 2006.
- Ghozali, Agus Iman, dkk. Fotodegradasi Zat Warna Remazol Red Menggunakan Katalis α -Fe₂O₄/Fe₃O₄ Core Shell Nanostruktur. *Indonesian Journal Of Chemical Science* (2012).

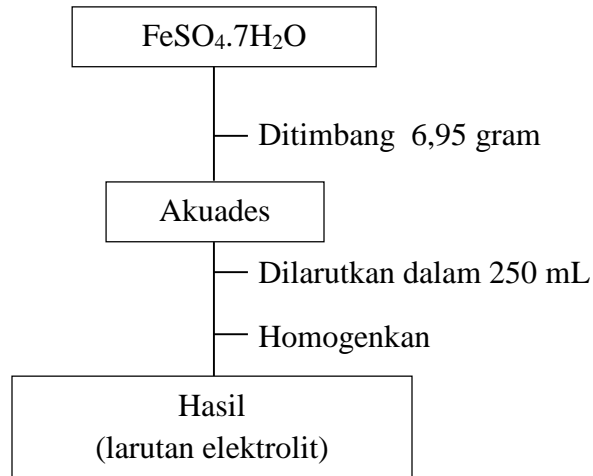
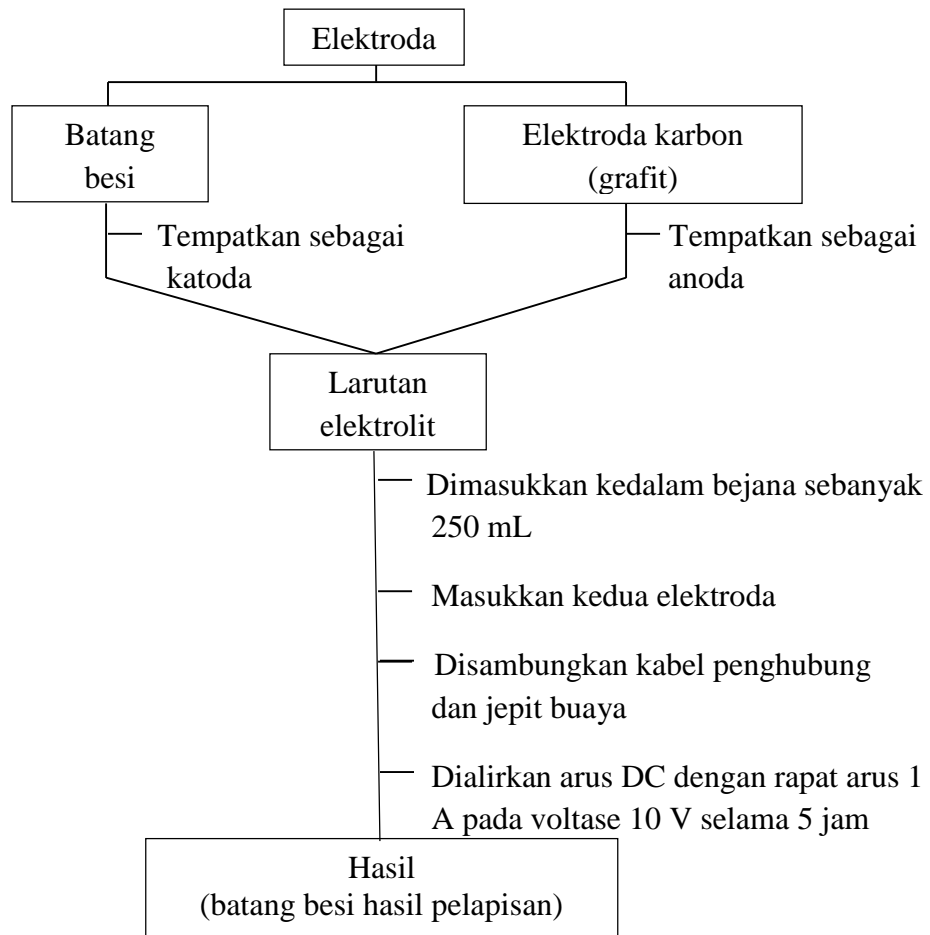
- Juarnita, Ayunda Wahyuning, dkk. Sintesa Nanopartikel Magnetit Dengan Metode Elektrokimia. *Jurnal Rekayasa Kimia dan Proses* (2010).
- Kementrian Agama RI. *Al-Qur'an dan Terjemahannya Special For Woman*. Bandung: PT. Sygma Examedia Arkanleema, 2009.
- Khopkar, SM. *Basic Concept Of Analytical Chemistry*, terj. A. Saptprahardjo. Konsep Dasar Kimia Analitik. Jakarta: UI Press, 2010.
- Kundari, Noor Anis dan Slamet Wiyaniati. Tinjauan Kesetimbangan Adsorpsi Tembaga Dalam Limbah Pencuci PCB Dengan Zeolit. *SDM Teknologi Nuklir* (2008).
- Kusmaya, Maya dan Muhammad Badri Halim. Adsorpsi Kadmium (II) dan Kromium (III) Dalam Air Oleh Lumpur Aktif. *Jurnal Kimia* (2012).
- Kusuma, I Dewa Gede Dwi Prabhasastra, Ni Made Wiratini, I Gusti Lanang Wiratma. "Isoterm Adsorpsi Cu^{2+} oleh Biomassa Rumput Laut *Euclima Spinosum*. Singaraja: *e-Journal Kimia Visvitalis*. Universitas Pendidikan Ganesha Jurusan Pendidikan Kimia, (2014).
- Mahmuda, Diah, Nurhidayati Sakinah dan Edi Suharyadi. Adsorpsi Logam Tembaga (Cu), Mangan (Mn) dan Nikel (Ni) dalam *Artificial* Limbah Cair Dengan Menggunakan Nanopartikel Magnetit (Fe_3O_4). *Indonesian Journal Of Applied Physics* (2014).
- Maylani, Amanda Shinta (2015). Preparasi Nanopartikel Fe_3O_4 (Magnetit) Serta Aplikasinya Sebagai Adsorben Ion Logam Kadmium [Skripsi]. Fakultas Matematika dan Ilmu Pendidikan Alam, Universitas Negeri Semarang.
- Mustopo, Yogik Dwi (2011). Pengaruh Waktu Terhadap Ketebalan dan *Adhesivitas* Lapisan Pada Proses Elektroplating Khrom Dekoratif Tanpa Lapisan Dasar Dengan Lapisan Dasar Tembaga dan Tembaga Nikel [Skripsi]. Fakultas Teknik. Universitas Sebelas Maret
- Ningsih, Dwi Wahyu, Fauziatu Fajaroh dan Surjani Wonorahardjo. Aplikasi Nanopartikel Fe_3O_4 (*Magnetite*) Hasil Sintesis Secara Elektrokimia Sebagai Adsorben Ion Kadmium (II). *Jurnal Nanomaterial* (2013).
- Nurdila, Femila, Nining Sumawati dan Edi Suharyadi. Adsorpsi Logam Tembaga (Cu), Besi (Fe) dan Nikel (Ni) dalam Limbah Cair Buatan Menggunakan Nanopartikel *Cobalt Ferrite* (CoFe_2O_4). *Jurnal Fisika Indonesia* (2015).
- Palar, H. *Pencemaran dan Toksikologi Logam Berat*. Jakarta: Rineka Cipta, 1994.
- Prihatiningsih, Winda. K (2007). *Penerapan Kadar Tembaga (Cu) Pada Sampel Air Dengan Metode Spektrofotometri Di Laboratorium PDAM Tirtanadi Medan* [Skripsi]. Fakultas Farmasi. Universitas Sumatera Utara Medan.
- Puspasari, Ayu Dwi, Fajaroh Fauziatul dan Sutrisno. Sintesis Nanopartikel Magnetit Secara Kompresipitas dan Konversinya Menjadi Maghemit Serta Uji Kataliknya Pada Oksidasi Metilen Biru. *Jurnal Kimia* (2011).
- Riyanto. *Elektrokimia dan Aplikasinya*. Yogyakarta: Graha Ilmu, 2013.

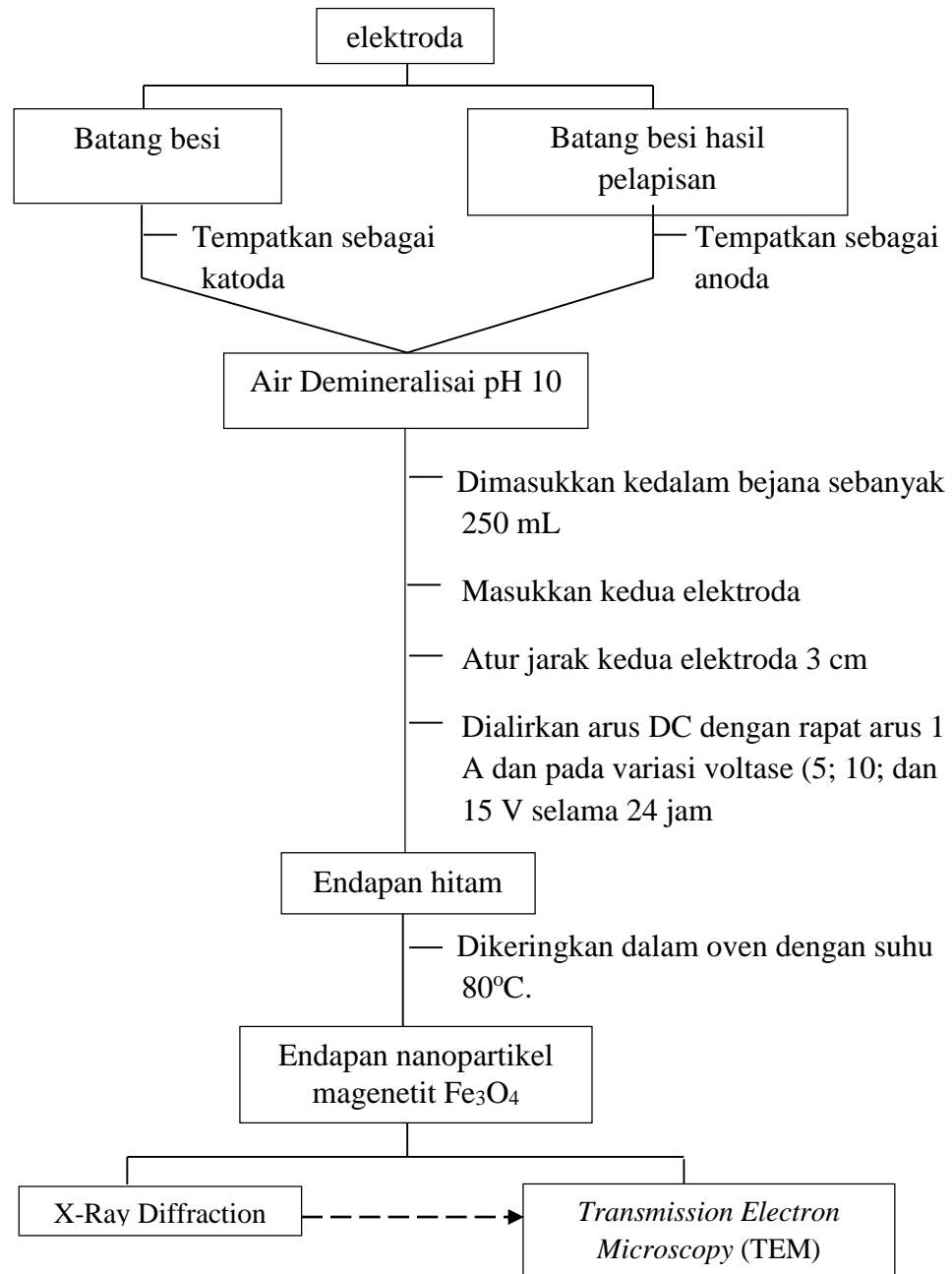
- Sartika, Dewi, Fitri Puji A dan Edi Suharyadi. Studi Penurunan Kadar Logam Fe dan Co Pada Limbah Cair Dengan Sistem Purifikasi Berbasis Adsorben Nanopartikel Magnetik Fe_3O_4 . *Jurnal Fisika Indonesia* (2014).
- Setiawati, Dewi, Tika Erna Putri dan Edi Suhardi. Pengaruh Ukuran Partikel Nanopartikel *Magnesium Ferrite* (MgFe_2O_4) Pada Adsorpsi Logam Cu(II), Fe(II) dan Ni(II) Dalam Limbah Cair. *Jurnal Kimia* (2015).
- Shackley, M. Steven. *X-Ray Fluorescence Spectrometry (XRF) in Geoarchaeology* Springer Science + Business: New York, 2008.
- Shihab, M. Quraish. *Tafsir Al-Misbah: Pesan, Kesan Dan Keserasian Al-Qur'an*. Jakarta: Lentera Hati, 2009.
- Shofiyani, Anis dan Gusrizal. Determinatin Of pH Effect and Capacity Of Heavy Metals Adsorption By Water Hyacinth (*Eichhormia Crasspes*) Biomass. *Indo J. Chem* (2006).
- Sofyan, Agus. *Pengelolaan Lingkungan Yang Terpadu Menurut Ajaran Islam. Indonesian Muslim Society in America* (2012).
- Sukardjo. *Kimia Fisika*. Yogyakarta: Rineka Cipta, 2004.
- Sunarya, Yayan. *Kimia Dasar 2*. Bandung: Yrama Widya, 2012.
- Susanti, Sri (2014). *Kajian Struktur Kristal Nanopartikel Magnetit (Fe_3O_4) Sebagai Fungsi Temperatur Dari Hasil Sintesis Dengan Menggunakan Metode Sonokimia* [Skripsi]. Fakultas Sains Dan Teknologi. Universitas Islam Negeri Sunan Kalijaga Yogyakarta.
- Susilowati, Eka Nuril, Fausiatul Fajaroh dan Surjani Wonahardjo. Sintesis Nanopartikel Magnetit (Fe_3O_4) Secara Elektrokimia Dan Aplikasinya Sebagai Penyerap Pb(II) (2014).
- Teja, A.S. and Koh, P. Synthesis, Properties, and Application of Magnetic Iron Oxide Nanoparticles. *Progress in Crystal Growth and Characterization of Materials*. (2009).
- Widodo, Tri (2014). *Analisis Pengaruh Waktu Penahanan Celup Terhadap Ketebalan Permukaan Dan Kilap Pada Proses Elektroplating Baja Karbon Tinggi* [Skripsi]. Fakultas Teknik, Universitas Muhammadiyah Surakarta.
- Widowati, Astiana Sustiono dan Rymond Jusuf Rumampuk. *Efek Toksik Logam (Pencegahan Dan Penanggulangan Pencemaran)*. Yogyakarta: ANDI, 2008.
- Young, Hough. D dan Roger A. Freedman. *University Physics Tenth Edition*, terj. Pantur Silabun. Fisika Universitas Edisi Kesepuluh Jilid 2. Jakarta: Erlangga, 2004.

Lampiran 1: Skema Penelitian



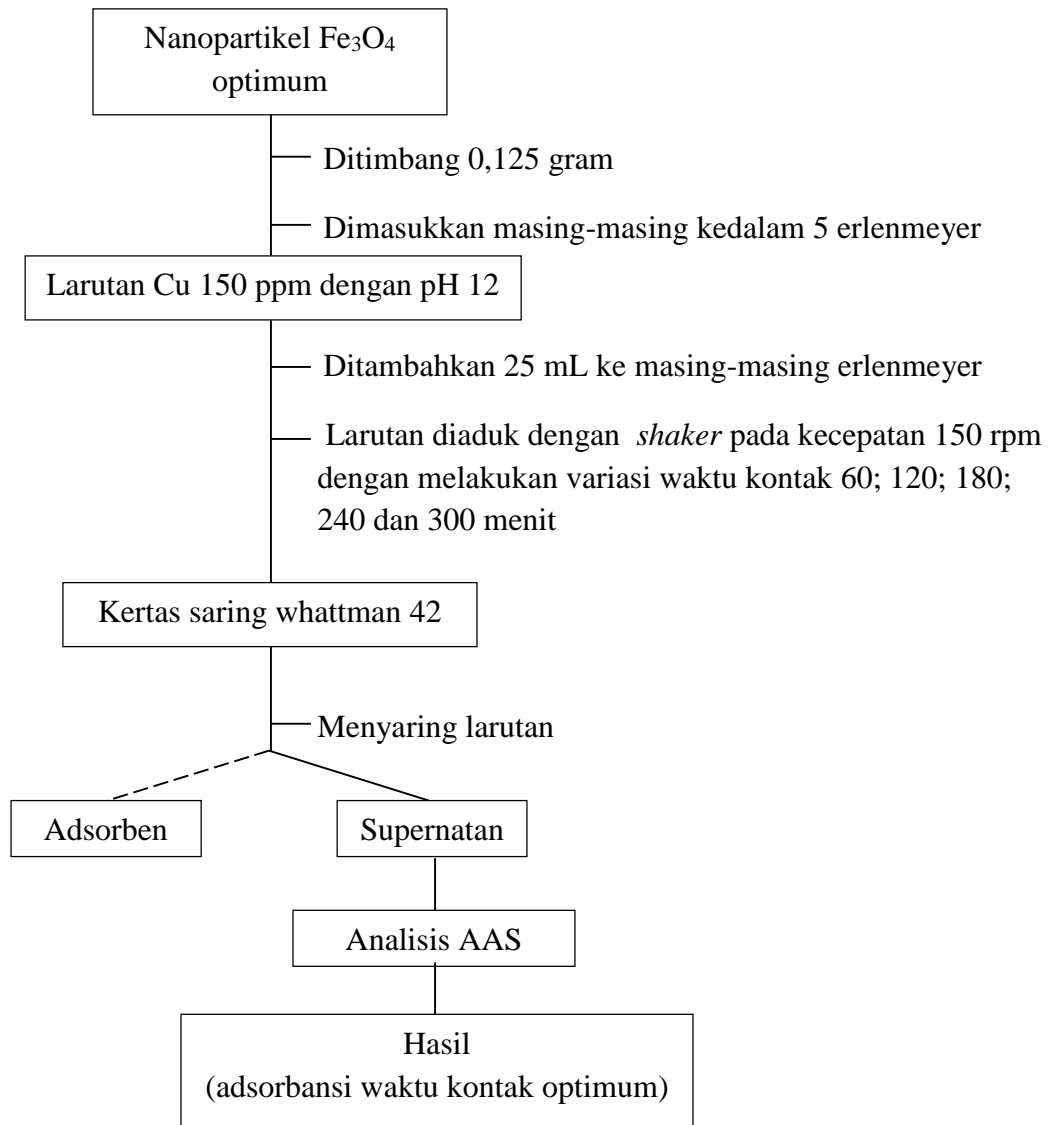
Lampiran 2 : Skema Kerja**a. Preparasi elektroda besi**

b. Pembuatan larutan elektrolit**c. Pembuatan elektroda besi dengan teknik elektroplating**

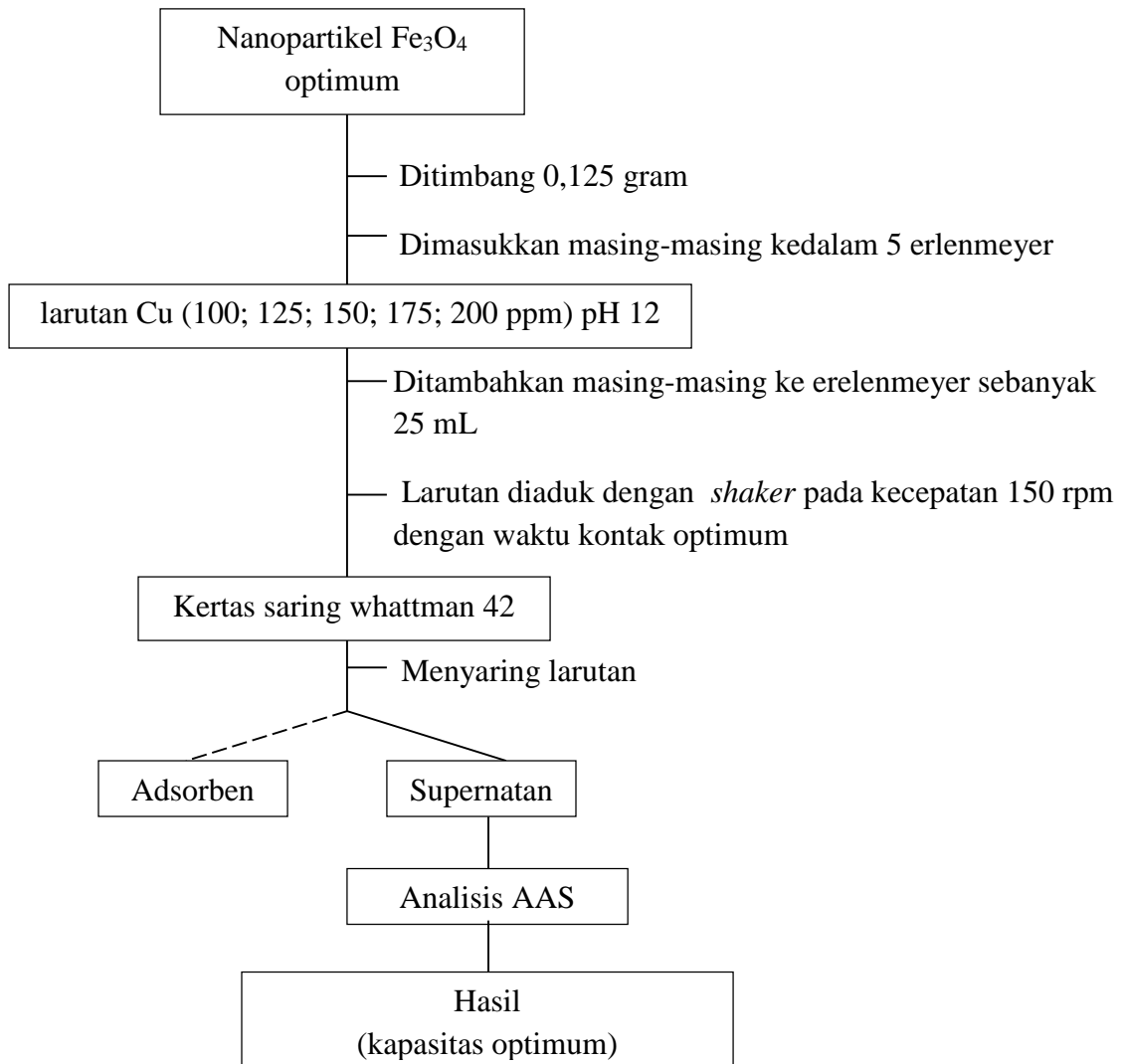
d. Pembuatan nanopartikel dengan metode elektrolisis

e. Uji adsorbsivitas logam tembaga (Cu)

1. Penentuan waktu kontak optimum



2. Penentuan kapasitas optimum

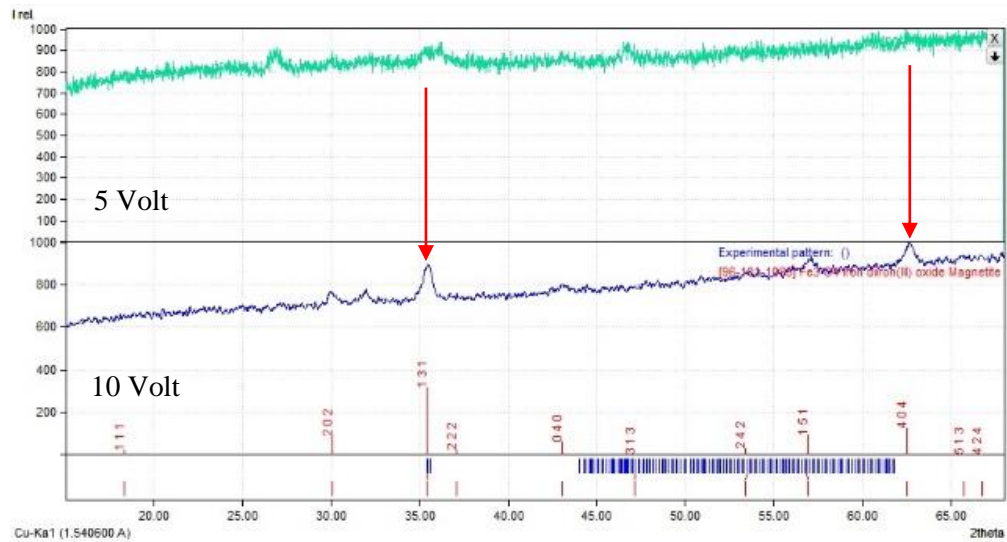


Lampiran 3 : Analisis XRF (*X-Ray Flourescence*)

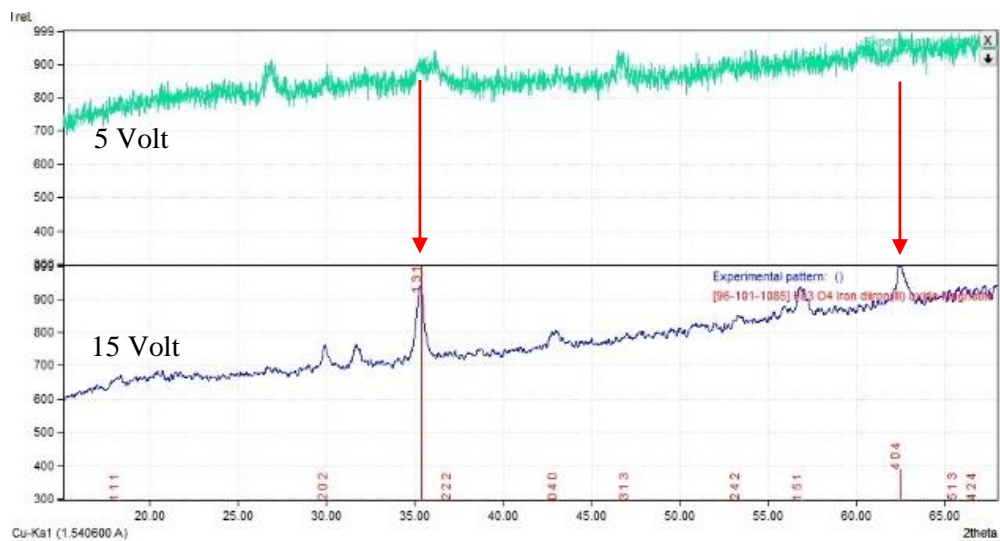
No	Komponen	(% berat)
1	Fe	61.73
2	Mg	13.18
3	Mn	1.23
4	Ca	0.762
5	K	0.726
6	Px	0.162
7	Cu	0.124
8	Ni	0.0285
9	Zn	0.0193
10	Nb	0.0138
11	Sn	0.0143
12	Mo	0.0100
13	Ru	0.0040

Hasil Analisis XRF

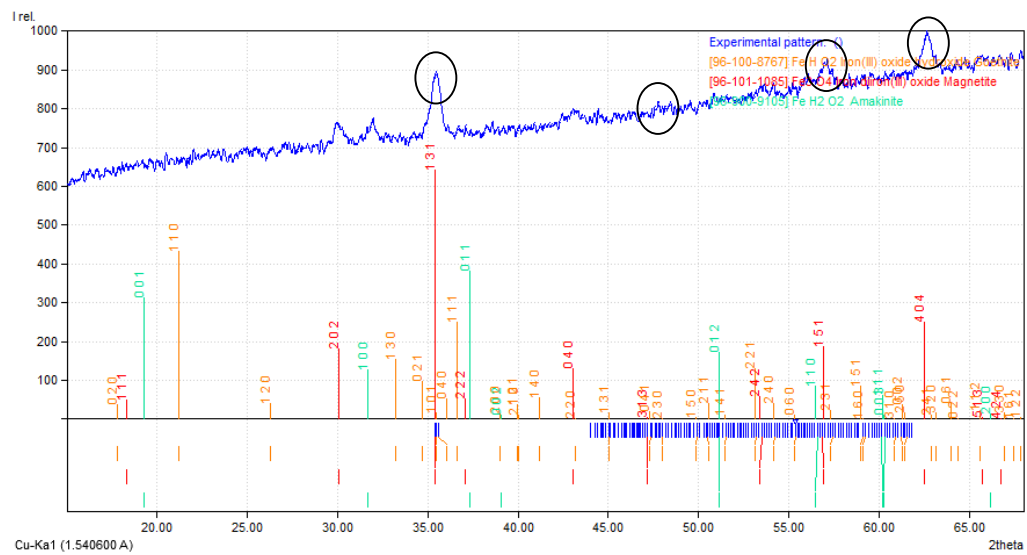
Lampiran 4 : Analisis XRD (X-Ray Diffraction)



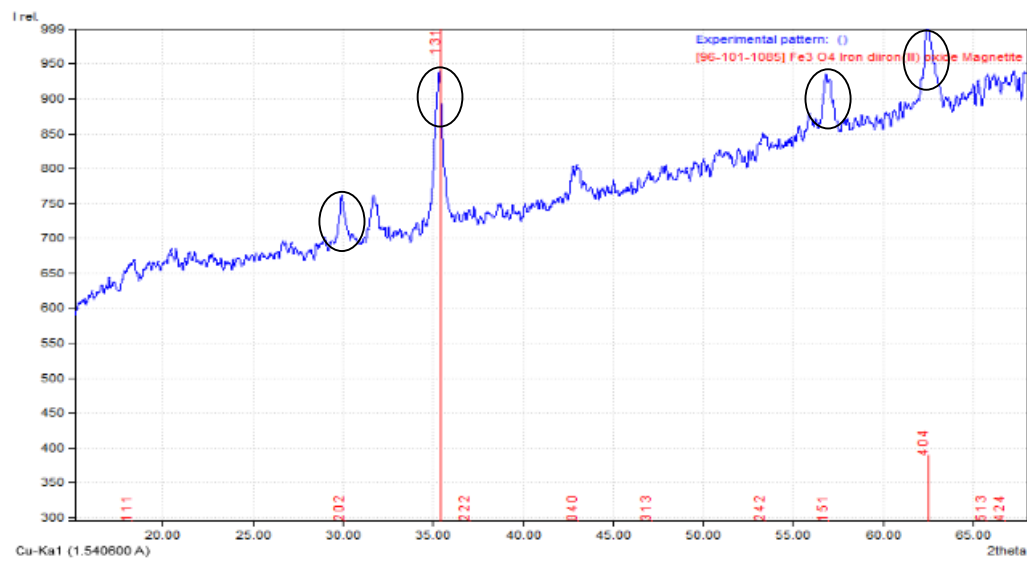
Perbandingan difraktogram hasil sintesis 5V dan 10V



Perbandingan difraktogram hasil sintesis 5V dan 15V



Difraktogram hasil sintesis 10V



Difraktogram hasil sintesis 15V

Lampiran 5 : Perhitungan Diameter Nanopartikel Dengan Tegangan 10 Volt

a. Data analisis XRD

Tabel 1 Data analisis XRD Nanopartikel Magnetite Fe₃O₄ dengan tegangan 10 volt

No	Theta (θ) (deg)	FWHM (match)	FWHM (inst)
1.	35,38	0,3000	0,69810
2.	56,87	0,1766	0,78000
3.	47,18	0,2981	0,71000
4.	62,61	0,1000	0,80970

Keterangan :

Theta (θ) (deg) : sudut Bragg

FWHM (match) : lebar puncak difraksi standar

FWHM (inst) : lebar puncak difraksi sampel

b. Analisis data

Persamaan *Scherrer* :

$$D = \frac{k \cdot \lambda}{\beta \cos \theta}$$

K = 0,98 tetapan Bragg

$\lambda = 1,5406 \text{ \AA}$

β = nilai FWHM

θ = sudut puncak

dimana, $\beta = \sqrt{(FWHM_{inst})^2 - (FWHM_{match})^2}$

1. Data 1

$$\beta = \sqrt{(FWHM_{inst})^2 - (FWHM_{match})^2}$$

$$\beta = \sqrt{(0,69810)^2 - (0,3000)^2}$$

$$\beta = \sqrt{0,3973}$$

$$\beta = 0,6303$$

maka,

$$D = \frac{k \cdot \lambda}{\beta \cos \theta}$$

$$D = \frac{0,98 \times 1,5406 \text{ \AA}}{0,6303 \times \cos 35,38}$$

$$D = \frac{1,5097 \text{ \AA}}{0,5139}$$

$$D = 2,937 \text{ \AA} = 29,37 \text{ nm}$$

2. Data 2

$$\beta = \sqrt{(FWHM_{inst})^2 - (FWHM_{match})^2}$$

$$\beta = \sqrt{(0,78000)^2 - (0,1766)^2}$$

$$\beta = \sqrt{0,5772}$$

$$\beta = 0,7597$$

maka,

$$D = \frac{k \cdot \lambda}{\beta \cos \theta}$$

$$D = \frac{0,98 \times 1,5406 \text{ \AA}}{0,7597 \times \cos 56,87}$$

$$D = \frac{1,5097 \text{ \AA}}{0,4152}$$

$$D = 3,636 \text{ \AA} = 36,36 \text{ nm}$$

3. Data 3

$$\beta = \sqrt{(FWHM_{inst})^2 - (FWHM_{match})^2}$$

$$\beta = \sqrt{(0,71000)^2 - (0,2961)^2}$$

$$\beta = \sqrt{0,4164}$$

$$\beta = 0,6452$$

maka,

$$D = \frac{k \cdot \lambda}{\beta \cos \theta}$$

$$D = \frac{0,98 \times 1,5406 \text{ \AA}}{0,6452 \times \cos 47,18}$$

$$D = \frac{1,5097 \text{ \AA}}{0,4385}$$

$$D = 3,442 \text{ \AA} = 34,42 \text{ nm}$$

4. Data 4

$$\beta = \sqrt{(FWHM_{inst})^2 - (FWHM_{match})^2}$$

$$\beta = \sqrt{(0,80970)^2 - (0,1000)^2}$$

$$\beta = \sqrt{0,6456}$$

$$\beta = 0,8035$$

maka,

$$D = \frac{k \cdot \lambda}{\beta \cos \theta}$$

$$D = \frac{0,98 \times 1,5406 \text{ \AA}}{0,8035 \times \cos 62,61}$$

$$D = \frac{1,5097 \text{ \AA}}{0,3696}$$

$$D = 4,084 \text{ \AA} = 40,84 \text{ nm}$$

5. Diameter rata-rata

$$\bar{D} = \frac{29,37 + 36,36 + 34,42 + 40,84 \text{ nm}}{4} = 35,24 \text{ nm}$$

Lampiran 6 : Perhitungan diameter nanopartikel dengan tegangan 15 volt

a. Data Analisis XRD

Tabel 2 Data analisis XRD Nanopartikel Magnetite Fe₃O₄ dengan tegangan 15 volt

No	Theta (deg)	FWHM (match)	FWHM (inst)
1.	29,97	0,3000	0,62270
2.	35,33	0,3000	0,63330
3.	62.47	0,1000	0,80000
4.	56.84	0,1000	0,67670

Keterangan :

Theta (θ) (deg) : sudut Bragg

FWHM (match) : lebar puncak difraksi standar

FWHM (inst) : lebar puncak difraksi sampel

b. Analisis data

Persamaan *Scherrer* :

$$D = \frac{k \cdot \lambda}{\beta \cos \theta}$$

K = 0,98 tetapan Bragg

$\lambda = 1,5406 \text{ \AA}$

β = nilai FWHM

θ = sudut puncak

dimana, $\beta = \sqrt{(FWHM_{inst})^2 - (FWHM_{match})^2}$

1. Data 1

$$\beta = \sqrt{(FWHM_{inst})^2 - (FWHM_{match})^2}$$

$$\beta = \sqrt{(0,62270)^2 - (0,3000)^2}$$

$$\beta = \sqrt{0,2977}$$

$$\beta = 0,5456$$

maka,

$$D = \frac{k \cdot \lambda}{\beta \cos \theta}$$

$$D = \frac{0,98 \times 1,5406 \text{ \AA}}{0,5456 \times \cos 29,97}$$

$$D = \frac{1,5097 \text{ \AA}}{0,4726}$$

$$D = 3,365 \text{ \AA} = 33,65 \text{ nm}$$

2. Data 2

$$\beta = \sqrt{(FWHM_{inst})^2 - (FWHM_{match})^2}$$

$$\beta = \sqrt{(0,63330)^2 - (0,3000)^2}$$

$$\beta = \sqrt{0,3111}$$

$$\beta = 0,5577$$

maka,

$$D = \frac{k \cdot \lambda}{\beta \cos \theta}$$

$$D = \frac{0,98 \times 1,5406 \text{ \AA}}{0,5577 \times \cos 62,47}$$

$$D = \frac{1.5097 \text{ \AA}}{0,4549}$$

$$D = 3,496 \text{ \AA} = 34,96 \text{ nm}$$

3. Data 3

$$\beta = \sqrt{(FWHM_{inst})^2 - (FWHM_{match})^2}$$

$$\beta = \sqrt{(0,8000)^2 - (0,1000)^2}$$

$$\beta = \sqrt{0,63}$$

$$\beta = 0,7937$$

maka,

$$D = \frac{k \cdot \lambda}{\beta \cos \theta}$$

$$D = \frac{0,98 \times 1,5406 \text{ \AA}}{0,7937 \times \cos 35,33}$$

$$D = \frac{1.5097 \text{ \AA}}{0,3667}$$

$$D = 4,124 \text{ \AA} = 41,24 \text{ nm}$$

4. Data 4

$$\beta = \sqrt{(FWHM_{inst})^2 - (FWHM_{match})^2}$$

$$\beta = \sqrt{(0,67670)^2 - (0,1000)^2}$$

$$\beta = \sqrt{0,4479}$$

$$\beta = 0,6692$$

maka,

$$D = \frac{k \cdot \lambda}{\beta \cos \theta}$$

$$D = \frac{0,98 \times 1,5406 \text{ \AA}}{0,6692 \times \cos 56,84}$$

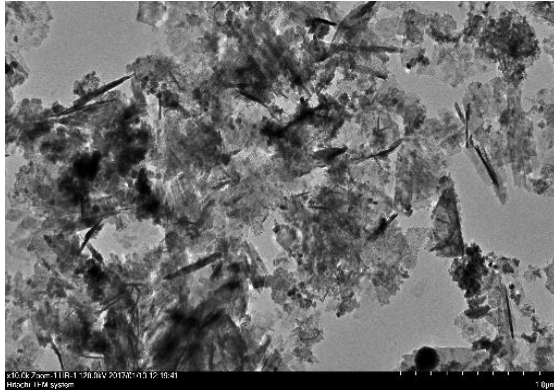
$$D = \frac{1,5097 \text{ \AA}}{0,3654}$$

$$D = 4,131 \text{ \AA} = 41,31 \text{ nm}$$

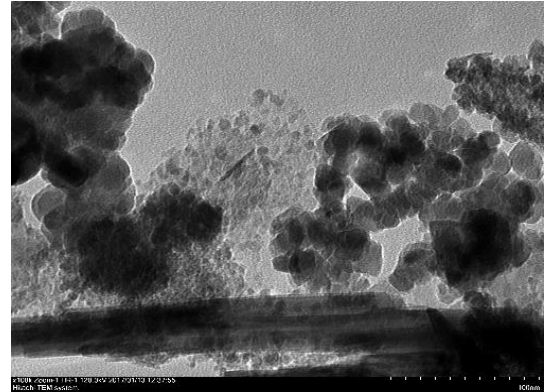
5. Diameter rata-rata

$$\bar{D} = \frac{33,65 + 34,96 + 41,24 + 41,31}{4} = 37,79 \text{ nm}$$

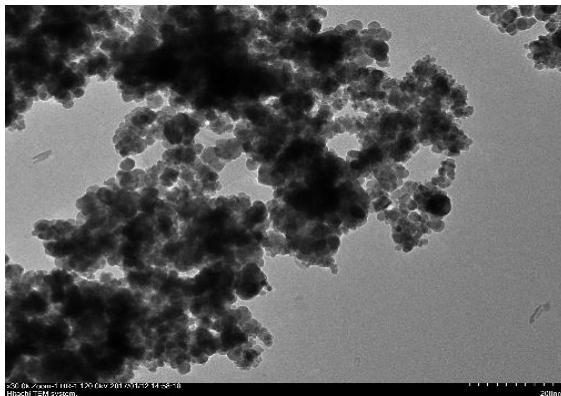
Lampiran 7 : Analisis TEM (*Transmission Electron Microscopy*)



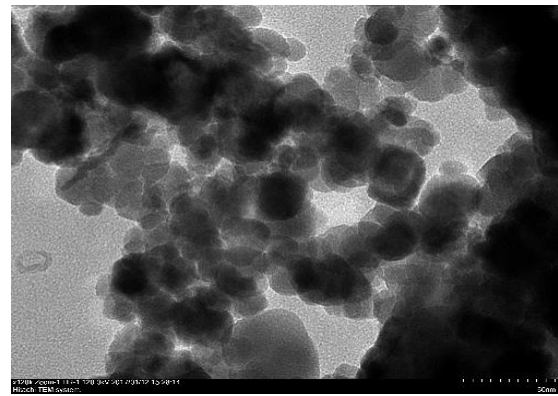
Pola TEM Fe₃O₄ dengan tegangan 5 volt pada skala 1 μm



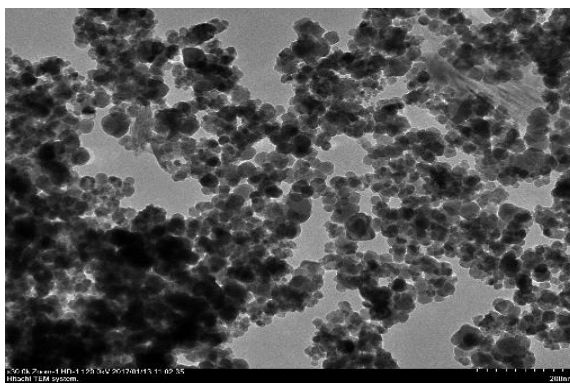
Pola TEM Fe₃O₄ dengan tegangan 5 volt pada skala 100 nm



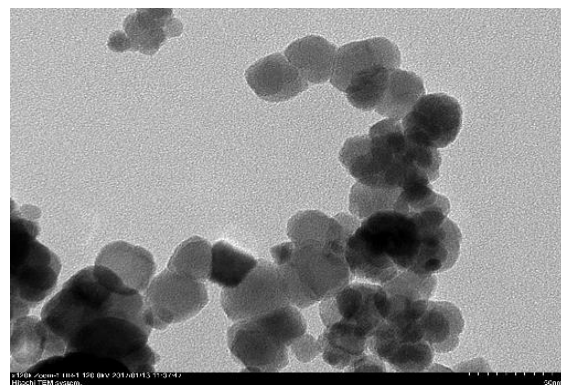
Pola TEM Fe₃O₄ dengan tegangan 10 volt pada skala 200 nm



Pola TEM Fe₃O₄ dengan tegangan 10 volt pada skala 50 nm



Pola TEM Fe₃O₄ dengan tegangan 15 volt pada skala 200 nm



Pola TEM Fe₃O₄ dengan tegangan 15 volt pada skala 50 nm

Lampiran 8 : Pembuatan larutan

1. Pembuatan larutan induk tembaga (Cu) 1000 ppm

$$mg = \frac{ppm \times V \times Mr \text{ Cu (NO}_3)_2}{Ar \text{ Cu}}$$

$$mg = \frac{1000 \text{ mg/l} \times 1 \text{ l} \times 187,54 \text{ g/mol}}{63,54 \text{ g/mol}}$$

$$mg = \frac{187540}{63,54} = 2951,5266$$

$$= 2,9515 \text{ gram}$$

Menimbang 2,9515 gram padatan $\text{Cu(NO}_3)_2$ kedalam labu takar 1000 mL.

Kemudian menghimpitkan dengan aquades sampai tanda batas.

2. Pembuatan larutan uji 100; 125; 150; 175; 200 ppm

a. Larutan standar Cu 100 ppm

$$V_1 \times M_1 = V_2 \times M_2$$

$$V_1 \times 1000 \text{ ppm} = 100 \text{ mL} \times 100 \text{ ppm}$$

$$V_1 = \frac{10000 \text{ mL} \cdot \text{ppm}}{1000 \text{ ppm}}$$

$$V_1 = 10 \text{ mL}$$

10 mL larutan induk diencerkan dengan aquades hingga 100 mL

b. Larutan standar Cu 125 ppm

$$V_1 \times M_1 = V_2 \times M_2$$

$$V_1 \times 1000 \text{ ppm} = 100 \text{ mL} \times 125 \text{ ppm}$$

$$V_1 = \frac{12500 \text{ mL.ppm}}{1000 \text{ ppm}}$$

$$V_1 = 12,5 \text{ mL}$$

12,5 mL larutan induk diencerkan dengan aquades hingga 100 mL

c. Larutan standar Cu 150 ppm

$$V_1 \times M_1 = V_2 \times M_2$$

$$V_1 \times 1000 \text{ ppm} = 100 \text{ mL} \times 150 \text{ ppm}$$

$$V_1 = \frac{15000 \text{ mL.ppm}}{1000 \text{ ppm}}$$

$$V_1 = 15 \text{ mL}$$

15 mL larutan induk diencerkan dengan aquades hingga 100 mL

d. Larutan standar Cu 175 ppm

$$V_1 \times M_1 = V_2 \times M_2$$

$$V_1 \times 1000 \text{ ppm} = 100 \text{ mL} \times 175 \text{ ppm}$$

$$V_1 = \frac{17500 \text{ mL.ppm}}{1000 \text{ ppm}}$$

$$V_1 = 17,5 \text{ mL}$$

17,5 mL larutan induk diencerkan dengan aquades hingga 100 mL

e. Laruran standar Cu 200 ppm

$$V_1 \times M_1 = V_2 \times M_2$$

$$V_1 \times 1000 \text{ ppm} = 100 \text{ mL} \times 200 \text{ ppm}$$

$$V_1 = \frac{20000 \text{ mL} \cdot \text{ppm}}{1000 \text{ ppm}}$$

$$V_1 = 20 \text{ mL}$$

20 mL larutan induk diencerkan dengan aquades hingga 100 mL

3. Pembuatan larutan baku Cu 100 ppm

$$V_1 \times M_1 = V_2 \times M_2$$

$$V_1 \times 1000 \text{ ppm} = 100 \text{ mL} \times 100 \text{ ppm}$$

$$V_1 = \frac{10000 \text{ mL} \cdot \text{ppm}}{1000 \text{ ppm}}$$

$$V_1 = 10 \text{ mL}$$

10 mL larutan induk diencerkan dengan aquades hingga 100 mL

4. Pembuatan larutan standar Cu 0,5; 1; 2; 4; 8 ppm

a. Larutan standar 0,5 ppm

$$V_1 \times M_1 = V_2 \times M_2$$

$$V_1 \times 100 \text{ ppm} = 100 \text{ mL} \times 0,5 \text{ ppm}$$

$$V_1 = \frac{50 \text{ mL} \cdot \text{ppm}}{100 \text{ ppm}}$$

$$V_1 = 0,5 \text{ mL}$$

0,5 mL larutan induk diencerkan dengan aquades hingga 100 mL

b. Larutan standar 1 ppm

$$V_1 \times M_1 = V_2 \times M_2$$

$$V_1 \times 100 \text{ ppm} = 100 \text{ mL} \times 1 \text{ ppm}$$

$$V_1 = \frac{100 \text{ mL} \cdot \cancel{\text{ppm}}}{100 \cancel{\text{ ppm}}}$$

$$V_1 = 1 \text{ mL}$$

1 mL larutan induk diencerkan dengan aquades hingga 100 mL

c. Larutan standar 2 ppm

$$V_1 \times M_1 = V_2 \times M_2$$

$$V_1 \times 100 \text{ ppm} = 100 \text{ mL} \times 2 \text{ ppm}$$

$$V_1 = \frac{200 \text{ mL} \cdot \cancel{\text{ppm}}}{100 \cancel{\text{ ppm}}}$$

$$V_1 = 2 \text{ mL}$$

2 mL larutan induk diencerkan dengan aquades hingga 100 mL

d. Larutan standar 4 ppm

$$V_1 \times M_1 = V_2 \times M_2$$

$$V_1 \times 100 \text{ ppm} = 100 \text{ mL} \times 4 \text{ ppm}$$

$$V_1 = \frac{400 \text{ mL} \cdot \cancel{\text{ppm}}}{100 \cancel{\text{ ppm}}}$$

$$V_1 = 4 \text{ mL}$$

4 mL larutan induk diencerkan dengan aquades hingga 100 mL

e. Larutan standar 8 ppm

$$V_1 \times M_1 = V_2 \times M_2$$

$$V_1 \times 100 \text{ ppm} = 100 \text{ mL} \times 8 \text{ ppm}$$

$$V_1 = \frac{800 \text{ mL} \cdot \cancel{\text{ppm}}}{100 \cancel{\text{ ppm}}}$$

$$V_1 = 8 \text{ mL}$$

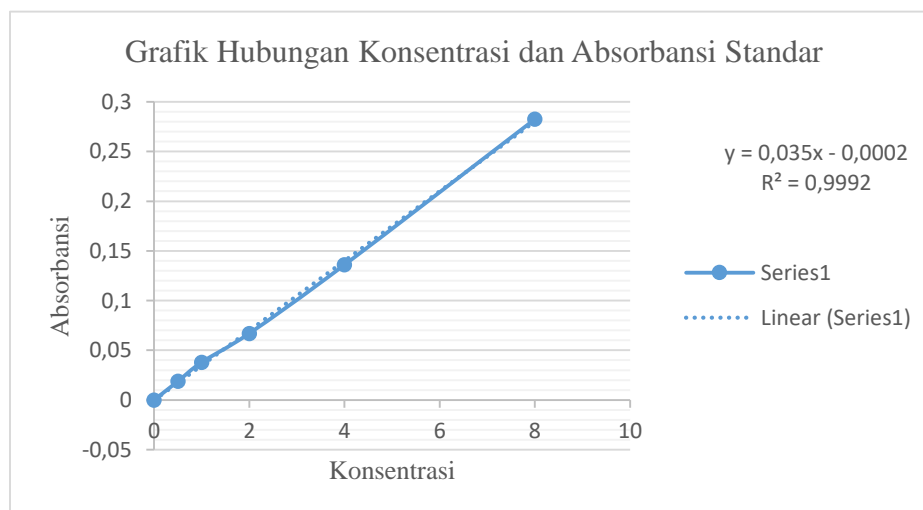
8 mL larutan induk diencerkan dengan aquades hingga 100 mL

Lampiran 9 : Data Standarisasi

1. Tabel

Konsentrasi (x)	Absorbansi (y)	x^2	y^2	$x \cdot y$
0 ppm	-0.0003	0	0.00000009	0
0.5 ppm	0.0188	0.25	0.00035344	0.0094
1 ppm	0.0380	1	0.001444	0.0380
2 ppm	0.0670	4	0.004489	0.1340
4 ppm	0.1360	16	0.018496	0.5440
8 ppm	0.2825	64	0.079806	2.2600
$\Sigma = 15.5$	0.542	85.25	0.104588	2.9854

2. Grafik



3. Persamaan Garis Linear

$$y = bx + a$$

Nilai b

$$b = \frac{n \sum xy - \sum x \sum y}{n \sum x^2 - (\sum x)^2}$$

$$b = \frac{6 (2,9854) - (15,5)(0,542)}{6 (85,25) - (15,5)^2}$$

$$b = \frac{17,9124 - 8,401}{511,5 - 240,25}$$

$$b = \frac{9,5114}{271,25}$$

$$b = 0,035$$

Nilai a

$$a = y_{rata-rata} - bx_{rata-rata}$$

$$a = 0,0903 - (0,035)(2,5833)$$

$$a = 0,0903 - 0,0905$$

$$a = -0,0002$$

Jadi, persamaan linear yang diperoleh adalah:

$$y = a + bx$$

$$y = -0,0002 + 0,035 x$$

Keterangan:

y = absorbansi sampel

x = konsentrasi besi (Cu) dalam sampel

$$\begin{aligned}
 R^2 &= \frac{n \sum xy - \sum x \sum y}{\sqrt{((n \sum x^2) - (\sum x)^2)((n \sum y^2) - (\sum y)^2)}} \\
 &= \frac{6 (2,9854) - (15,5)(0,542)}{\sqrt{((6 (85,25) - (15,5)^2)((6 (0,104588) - (0,542)^2))}} \\
 &= \frac{17,9124 - 8,401}{\sqrt{90,5347}} \\
 &= \frac{9,5114}{9,5149} \\
 R^2 &= 0,999
 \end{aligned}$$

Lampiran 10 : Data Perhitungan Variasi Waktu Kontak**a. Konsentrasi tembaga (Cu) dalam sampel**

1. Menit ke 60

$$\begin{aligned}y &= a + bx \\x &= \frac{y - a}{b} \\&= \frac{0,0028 - (-0,0002)}{0,035} \\&= \frac{0,003}{0,035} \\&= 0,08571\end{aligned}$$

2. Menit ke 120

$$\begin{aligned}x &= \frac{y - a}{b} \\&= \frac{0,0045 - (-0,0002)}{0,035} \\&= \frac{0,0047}{0,035} \\&= 0,1342\end{aligned}$$

3. Menit ke 180

$$\begin{aligned}x &= \frac{y - a}{b} \\&= \frac{0,035 - (-0,0002)}{0,035} \\&= \frac{0,00352}{0,035} \\&= 0,1057\end{aligned}$$

4. Menit ke 240

$$\begin{aligned} x &= \frac{y - a}{b} \\ &= \frac{0,0038 - (-0,0002)}{0,035} \\ &= \frac{0,0040}{0,035} \\ &= 0,1142 \end{aligned}$$

5. Menit ke 300

$$\begin{aligned} x &= \frac{y - a}{b} \\ &= \frac{0,0067 - (-0,0002)}{0,035} \\ &= \frac{0,0069}{0,035} \\ &= 0,1971 \end{aligned}$$

b. Kapasitas adsorpsi untuk setiap parameter waktu kontak

$$q_e = \frac{(C_o - C_e) V}{W_a}$$

q_e = kapasitas adsorpsi

C_o = konsentrasi awal

C_e = konsentrasi akhir

V = volume larutan

W_a = berat nanopartikel

1. 60 Menit

$$q_e = \frac{(C_o - C_e) V}{W_a}$$

$$q_e = \frac{\left(150 \frac{mg}{L} - 0,08571 \frac{mg}{L}\right) 0,025 L}{0,125 g}$$

$$q_e = \frac{149,9143 \frac{mg}{L} \times 0,025 L}{0,125 g}$$

$$q_e = 29,9828 \text{ mg/g}$$

2. 120 menit

$$q_e = \frac{(C_o - C_e) V}{W_a}$$

$$q_e = \frac{\left(150 \frac{mg}{L} - 0,1342 \frac{mg}{L}\right) 0,025 L}{0,125 g}$$

$$q_e = \frac{149,8657 \frac{mg}{L} \times 0,025 L}{0,125 g}$$

$$q_e = 29,9731 \text{ mg/g}$$

3. 180 menit

$$q_e = \frac{(C_o - C_e) V}{W_a}$$

$$q_e = \frac{\left(150 \frac{mg}{L} - 0,1057 \frac{mg}{L}\right) 0,025 L}{0,125 g}$$

$$q_e = \frac{149,8943 \frac{mg}{L} \times 0,025 L}{0,125 g}$$

$$q_e = 29,9788 \text{ mg/g}$$

4. 240 menit

$$q_e = \frac{(C_o - C_e) V}{W_a}$$

$$q_e = \frac{\left(150 \frac{\text{mg}}{\text{L}} - 0,1142 \frac{\text{mg}}{\text{L}}\right) 0,025 \text{ L}}{0,125 \text{ g}}$$

$$q_e = \frac{149,8857 \frac{\text{mg}}{\text{L}} \times 0,025 \text{ L}}{0,125 \text{ g}}$$

$$q_e = 29,9771 \text{ mg/g}$$

5. 300 menit

$$q_e = \frac{(C_o - C_e) V}{W_a}$$

$$q_e = \frac{\left(150 \frac{\text{mg}}{\text{L}} - 0,1971 \frac{\text{mg}}{\text{L}}\right) 0,025 \text{ L}}{0,125 \text{ g}}$$

$$q_e = \frac{149,8029 \frac{\text{mg}}{\text{L}} \times 0,025 \text{ L}}{0,125 \text{ g}}$$

$$q_e = 29,9605 \text{ mg/g}$$

Lampiran 11 : Data Perhitungan Variasi Konsentrasi**a. Konsentrasi tembaga (Cu) dalam sampel**

1) Konsentrasi 100 ppm

$$\begin{aligned}y &= a + bx \\x &= \frac{y - a}{b} \\&= \frac{0,0054 - (-0,0002)}{0,035} \\&= \frac{0,0058}{0,035} \\&= 0,1657\end{aligned}$$

2) Konsentrasi 125 ppm

$$\begin{aligned}x &= \frac{y - a}{b} \\&= \frac{0,0041 - (-0,0002)}{0,035} \\&= \frac{0,0043}{0,035} \\&= 0,1228\end{aligned}$$

3) Konsentrasi 150 ppm

$$\begin{aligned}x &= \frac{y - a}{b} \\&= \frac{0,0025 - (-0,0002)}{0,035} \\&= \frac{0,0027}{0,035} \\&= 0,0771\end{aligned}$$

4) Konsentrasi 175 ppm

$$\begin{aligned} x &= \frac{y - a}{b} \\ &= \frac{0,0026 - (-0,0002)}{0,035} \\ &= \frac{0,0028}{0,035} \\ &= 0,08 \end{aligned}$$

5) Konsentrasi 150 ppm

$$\begin{aligned} x &= \frac{y - a}{b} \\ &= \frac{0,0021 - (-0,0002)}{0,035} \\ &= \frac{0,0023}{0,035} \\ &= 0,06571 \end{aligned}$$

b. Kapasitas adsorpsi untuk setiap konsentrasi

1) 100 ppm

$$\begin{aligned} q_e &= \frac{(C_o - C_e) V}{W_a} \\ q_e &= \frac{\left(100 \frac{mg}{L} - 0,1657 \frac{mg}{L}\right) 0,025 L}{0,125 g} \\ q_e &= \frac{99,9657 \frac{mg}{L} \times 0,025 L}{0,125 g} \\ q_e &= 19,9928 \frac{mg}{g} \end{aligned}$$

2) 125 ppm

$$q_e = \frac{(C_o - C_e) V}{W_a}$$

$$q_e = \frac{\left(125 \frac{mg}{L} - 0,1228 \frac{mg}{L}\right) 0,025 L}{0,125 g}$$

$$q_e = \frac{124,9457 \frac{mg}{L} \times 0,025 L}{0,125 g}$$

$$q_e = 24,9888 \text{ mg/g}$$

3) 150 ppm

$$q_e = \frac{(C_o - C_e) V}{W_a}$$

$$q_e = \frac{\left(150 \frac{mg}{L} - 0,0771 \frac{mg}{L}\right) 0,025 L}{0,125 g}$$

$$q_e = \frac{149,9257 \frac{mg}{L} \times 0,025 L}{0,125 g}$$

$$q_e = 29,9851 \text{ mg/g}$$

4) 175 ppm

$$q_e = \frac{(C_o - C_e) V}{W_a}$$

$$q_e = \frac{\left(175 \frac{mg}{L} - 0,08 \frac{mg}{L}\right) 0,025 L}{0,125 g}$$

$$q_e = \frac{174,8286 \frac{mg}{L} \times 0,025 L}{0,125 g}$$

$$q_e = 34,9657 \text{ mg/g}$$

5) 200 ppm

$$q_e = \frac{(C_o - C_e) V}{W_a}$$

$$q_e = \frac{\left(200 \frac{mg}{L} - 0,0657 \frac{mg}{L}\right) 0,025 L}{0,125 g}$$

$$q_e = \frac{199,6771 \frac{mg}{L} \times 0,025 L}{0,125 g}$$

$$q_e = 39,9354 \text{ mg/g}$$

Lampiran 9 : Dokumentasi Penelitian

a. Preparasi elektroda besi



Pengamplasan besi



Perendaman besi dengan
NaOH 100 ppm



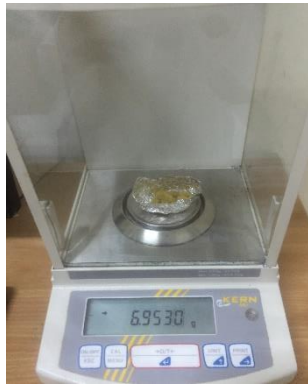
Perendaman besi dengan
HCl 10%



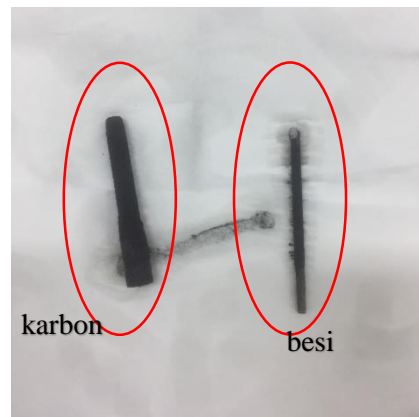
Perendaman besi dengan n-
Heksan



Perendaman besi dengan
H₂SO₄ 10%

b. Pembuatan larutan elektrolitFeSO₄.7H₂O yang ditimbangLarutan elektrolit FeSO₄**c. Pembuatan elektroda besi dengan teknik elektroplating**

Rangkaian elektroplating



Hasil elektroplating

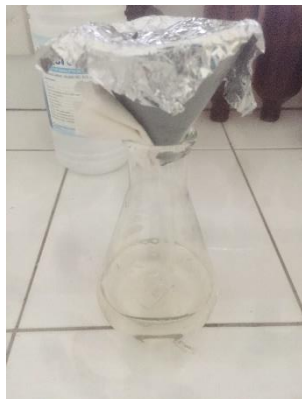
d. Pembuatan nanopartikel dengan metode elektrolisis



Rangkaian elektrolisis



Perubahan larutan selama 24 jam elektrolisis

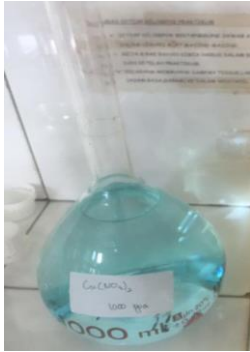


Penyaringan endapan Fe_3O_4



Hasil penyaringan Fe_3O_4 dengan variasi voltase

e. Uji adsorbtivitas logam tembaga



Larutan induk $\text{Cu}(\text{NO}_3)_2$
1000 ppm



Larutan baku
100 ppm



Larutan Uji 100,125,150,
175 dan 200 ppm



Berat adsorben Fe_3O_4



Proses pengadukan



Proses penyaringan



Larutan standar 0,5;
1; 2; 4; 8 ppm



Hasil penyaringan yang siap
dianalisa AAS

BIOGRAFI



Ria Rukmana Yamin, Dilahirkan di Kabupaten Polewali Mandar, tepatnya di Karama pada hari rabu tanggal 01 Mei 1994. Anak pertama dari dua bersaudara pasangan M. Yamin Mustafa dan Nurani Gani. Penulis menyelesaikan pendidikan dasar di SD Negeri 01 Warakas Jakarta Utara pada tahun 2006, ditahun yang sama penulis melanjutkan pendidikan di SMP Negeri 95 Unggulan Jakarta dan tamat pada tahun 2009, kemudian melanjutkan pendidikan menengah atas di SMA Negeri 80 Jakarta, lalu pindah ke SMA Negeri 1 Tinambung Kabupaten Polewali Mandar setahun kemudian dan selesai pada tahun 2012. Pada tahun 2012 penulis melanjutkan pendidikan di perguruan tinggi, tepatnya di Universitas Islam Negeri Alauddin Makassar (UINAM) Fakultas Sains dan Teknologi Jurusan Kimia. Penulis berhasil menyelesaikan kuliah dan meraih gelar strata satu (S1) pada tahun 2017 dengan masa studi 4 tahun 6 bulan.